



**بِسْمِ اللَّهِ الرَّحْمَنِ الرَّحِيمِ**



موسسه آموزش عالی انرژی

دانشگاه فنی و مهندسی

پایان نامه دوره کارشناسی ارشد مهندسی مکانیک - تبدیل انرژی

## عنوان

### تحلیل اگزرسی

## سلول های فتوولتایک حرارتی با خنک کن هوا

استاد راهنمای:

دکتر رضا علائی

استاد مشاور:

دکتر مجتبی میرزای

پژوهشگر:

میلاد زمانی

اسفند ماه ۱۳۹۵

	تاریخ صورتجلسه گروه آموزشی
	شماره دانشجویی
	کد دفاع
	تاریخ صورتجلسه شورای پژوهشی

با اسمه تعالیٰ



این فرم باید توسط دانشجو تایپ شده به تعداد خواسته شده، در روز دفاع تحويل داده شود.

#### صورتجلسه دفاع

		با تأییدات خداوند متعال جلسه دفاع از پایان نامه کارشناسی ارشد خانم / آقای	
		تحت عنوان:	در رشتہ:
تشکیل گردید.		با حضور استاد راهنمای، استاد (استادان) مشاور و هیأت داوران در مؤسسه آموزش عالی انرژی ساوه در تاریخ	
		در این جلسه، پایان نامه: <input type="checkbox"/> با موفقیت مورد دفاع قرار گرفت <input type="checkbox"/> نیازمند اصلاحات است <input type="checkbox"/> مردود اعلام گردید.	
		با امتیاز	نامبره نمرة
(بدون احتساب نمره مقاله)			

محل امضاء	نام و نام خانوادگی استاد راهنمای	
محل امضاء	نام و نام خانوادگی استاد مشاور	
محل امضاء ۱	محل امضاء ۲	هیأت داوران: -۱ -۲
معاون پژوهشی و فناوری مؤسسه آموزش عالی انرژی ساوه	مدیر گروه یا رئیس تحصیلات تکمیلی واحد: نام و نام خانوادگی محل امضاء	

\*\*\*\*\* (اطلاعات این قسمت حتماً توسط کارشناس پژوهشی تکمیل گردد)

نمره حاصل از ارزشیابی مقاله / مقالات دانشجو برابر ضوابط (از سقف ۲ نمره) ..... محاسبه و نمره نهایی پایان نامه (مجموع نمره دفاع و مقاله) به عدد  
با درجه ..... به تقویب رسید. / موارد اصلاحیه جهت اجرا به .....  
اطلاع دانشجو رسید.

تأیید معاون پژوهشی و فناوری مؤسسه آموزش عالی انرژی ساوه

تأیید کارشناس حوزه پژوهشی



## حوزه معاونت آموزشی و تحصیلات تکمیلی موسسه آموزش عالی انرژی

### تعهدنامه اصالت پایان نامه

اینجانب .....دانش آموخته مقطع کارشناسی ارشد ناپیوسته در رشته .....که در تاریخ ..... از پایان نامه خود با عنوان .....با کسب نمره .....و درجه .....دفاع نموده ام بدین وسیله اعتراف می کنم:

(۱) این پایان نامه حاصل تحقیق و پژوهش اینجانب بوده و در مواردی که از دستاوردهای علمی و پژوهشی دیگران (اعم از پایان نامه، کتاب، مقاله و ....) استفاده کرده ام، مطابق ضوابط موجود، نام منبع مورد استفاده و سایر مشخصات آن را در فهرست منابع ذکر و درج نموده ام.

(۲) این پایان نامه قبلاً برای دریافت هیچ مدرک تحصیلی (هم سطح، پایین تر یا بالاتر) در سایر دانشگاهها و مؤسسات آموزش عالی داخلی و خارجی ارائه نشده است.

ضمناً متعهد می شوم:

(۳) چنانچه بعد از فراغت از تحصیل، قصد استفاده و هر گونه بهره برداری اعم از چاپ مقاله، کتاب، ثبت اختراع و ... از این پایان نامه را داشته باشم، از استاد محترم راهنمای و گروه آموزشی مربوطه مجوزهای لازم را اخذ نمایم.

(۴) چنانچه در هر مقطع زمانی خلاف موارد فوق ثابت شود، عواقب ناشی از آن را بپذیرم و موسسه آموزش عالی انرژی مجاز است با اینجانب مطابق ضوابط و مقررات رفتار نموده و در صورت ابطال مدرک تحصیلی ام، هیچگونه ادعایی نخواهم داشت.

نام و نام خانوادگی:

تاریخ و امضاء:

تقدیم به :

پدر و مادر عزیزم

که با صبوری مرا دراین تحقیق یاری کردند

## تشکر و قدر دانی

حمد و سپاس خدای را که توفيق کسب دانش و معرفت را به ما عطا فرمود در اینجا لازم میدانم که از تمامی استاد بزرگوار به ویژه استاد دوره کارشناسی ارشد که مرا در تحصیل علم و معرفت و فضائل اخلاقی یاری نموده اند تقدیر و تشکر نمایم.

از استاد گرامی جناب آقای دکتر رضا اعلائی که راهنمایی اینجانب را در نگارش این پایان نامه قبل فرمودند  
نهایت تشکر را دارم.

یک کلکتور فتوولتاییک-حرارتی مدلی است که فقط الکتریسیته تولید نمیکند بلکه بطور همزمان به عنوان یک جاذب گرمای اضافی و هدر رفت سلول های  $PV^1$  را جذب کرده و تولید گرما میکند. روش های متفاوتی در ادغام ویکپارچه سازی  $PV$  ها وجود دارد از این میان میتوان به انتخاب آب یا هوا به عنوان خنک کننده سلول های خورشیدی، گردابرنده صفحه تخت یا مرکز کننده، پانل های شیشه دار یا غیر شیشه دار، جریان اجباری یا طبیعی سیال و... اشاره کرد همه موارد بالا باید به خوبی برای سیستم انتخاب و ارزیابی شوند تا هم راندمان افزایش یابد و هم سود حاصله دو چندان گردد.

هدف این تحقیق آنالیز اگزرژی کلکتور فتوولتاییک-حرارتی با خنک هوا میباشد. روش آنالیز اگزرژی یک روش جدید و جاگزینی مناسب برای روش های قدیمی تر است این روش بر مبنای مفهوم اگزرژی پایه ریزی شده است. اگزرژی با کمی سهل انگاری به عنوان قابلیت انجام کار یا کیفیت انواع مختلف انرژی نسبت به یک محیط مشخص تعریف میشود آنالیز اگزرژی یک فرایند یا یک سیستم نشان میدهد که چه مقدار از قابلیت انجام کار یا اگزرژی ورودی توسط آن فرایند یا سیستم مصرف شده یا به عبارت دیگر تلف شده است.

مواد و روش ها: در این تحقیق سعی کرده ایم یک پنل فتوولتاییک حرارتی معمولی با خنک هوا را از نظر اگزرژی بررسی کنم برای این کار سعی کرده ایم متغیر های تاثیر گذار عملکردی از دید مکانیک را مشخص کنیم این متغیرها شامل:

۱- دما هوای ورودی ۲- دبی هوای ورودی ۳- طول (تعداد مدول هایی که به صورت سری به هم وصل میشوند) تاثیر تغییر هر کدام از متغیر هارا بر مبنای شرایط آب و هوایی ساده با استفاده از نرم افزار متلب شبیه سازی شده است. و در نهایت نتایج را با  $PVT^2$  با خنک کن آب مقایسه کرده ایم

نتیجه گیری: در این تحقیق مشاهده کردیم به ازای افزایش دمای هوای ورودی به پنل راندمان اگزرژی کاهش میابد و همچنین مشاهده شد بهینه ترین دبی هوا  $12/00$  کیلوگرم بر ثانیه است و به ازای  $8/0$  متر طول بالاترین راندمان راخواهیم داشت.

کلمات کلیدی: سلول خورشیدی، فتوولتاییک حرارتی، خنک کن با هوا، آنالیز اگزرژی

<sup>1</sup>Photovoltaic

<sup>2</sup>Photovoltaic Thermal

## **فهرست مطالب**

۱	فصل اول مقدمه
۲	۱-۱ مقدمه
۶	۱-۲-۱ انرژی خورشیدی
۶	۱-۳-۱ بررسی امکان استفاده از انرژی خورشیدی از دیدگاه اقتصادی
۸	۱-۲ آنالیز اگزرژی و مقایسه با سایر روش های بهینه سازی
۱۲	۱-۳ اصول کلی آنالیز اگزرژی کلکتور فتوولتاییک حرارتی با خنک هوا
۱۳	۱-۴ پیشینه تحقیق
۱۹	فصل دوم سلول های فتوولتاییک حرارتی با خنک کن هوا
۲۰	۲-۱ مبانی فتوولتاییک
۲۰	۲-۱-۱ طیف خورشید و فوتونها
۲۱	۲-۱-۲ تولید الکترون و حفره
۲۳	۲-۱-۳ لزوم استفاده از نیمهرساناهای برای تولید الکترون و حفره
۲۴	۲-۱-۴ ارتباط بین نیمهرساناهای سلول های خورشیدی
۲۶	۲-۱-۵ اثر فوتوولتایی
۲۶	۲-۲ برخی از آنالیزهای مربوط به سلول های خورشیدی

۲۶	۱-۲-۲ آنالیز جریان-ولتاژ سلول خورشیدی (Solar Cell J-V Analysis)
۲۷	۲-۲-۲ اندازهگیری بازده طیفی سلول خورشیدی (Incident Photon to Current Conversion) .....(Efficiency)
۲۸	۳-۲-۲ اندازهگیری سطح فرمی و بار تجمع یافته (Fermi level and accumulated charge)
۲۸	۴-۲-۲ طیف‌سنجی امپدانس الکتروشیمیایی (Electrochemical Impedance Spectroscopy)
۲۹	۳-۲ انواع سلول‌های خورشیدی
۲۹	۱-۳-۲ سلول‌های خورشیدی مبتنی بر مواد آلی
۳۰	۲-۳-۲ سلول‌های خورشیدی حساس شده با رنگ (Dye-sensitized Solar Cell, DSSC)
۳۲	۳-۳-۲ سلول‌های خورشیدی پلیمری
۳۳	۴-۳-۲ سلول‌های خورشیدی مبتنی بر کریستال‌های مایع
۳۳	۵-۳-۲ سلول‌های خورشیدی مبتنی بر سیلیکون کریستالی
۳۵	۶-۳-۲ سلول‌های خورشیدی لایه نازک GaAs
۳۵	۷-۳-۲ سلول‌های خورشیدی مبتنی بر نقاط کوانتمی
۳۵	۴-۴ فناوری‌های سیستم‌های حرارتی خورشیدی
۳۷	۲-۴-۱ انواع گردآورنده‌ها
۳۷	۲-۴-۲ تقسیم بندی کلکتورها از نظر نوع سیال عامل
۴۰	۲-۴-۳ گردآورنده‌های متمنکز کننده
۴۱	۲-۵-۲ تکنولوژی ترکیبی فتوولتاییک حرارتی (PVT)

۲-۱-۵ اثربارهای فتوولتاویک حرارتی	۴۲
۲-۲-۵ بخش‌های یک پنل فتوولتاویک حرارتی	۴۴
۲-۳-۵ دسته بندی PVT ها با خنک کن هوا	۴۵
۲-۴-۵ اثر کاور شیشه‌ایی بر راندمان PVT	۴۶
۲-۵-۶ تعریف سیستم	۴۸
۲-۶-۲ نقشه سیستم مورد مطالعه	۴۹
۲-۶-۳ مشخصات طراحی پنل مورد مطالعه	۵۰
فصل سوم تحلیل اگزرسی پنل‌های فتوولتاویک با خنک کن هوا	۵۲
۳-۱ پیشگفتار	۵۳
۳-۲ مبانی تحلیل اگزرسی	۵۳
۳-۳ مفاهیم و روابط اساسی در تحلیل اگزرسی	۵۵
۳-۳-۱ تعریف اگزرسی	۵۵
۳-۳-۲ حالت مرده	۵۵
۳-۳-۳ حالت مرده محدود	۵۶
۳-۳-۴ تعریف محیط از دیدگاه تحلیل اگزرسی	۵۶
۳-۴ معيارهای عملکرد از دیدگاه تحلیل اگزرسی	۵۷
۳-۵ اصول آنالیز اگزرسی پنهانی فتوولتاویک حرارتی با خنک کن هوا	۵۷

۶-۳	بالанс اگزرسی در حالت کلی برای PVT	۶۰
۷-۳	آنالیز اگزرسی پنل های فتوولتاییک با خنک کن هوا	۶۱
۱-۷-۳	لایه روی مجرای هوا	۶۱
۲-۷-۳	آنالیز اگزرسی برای سیال درون مجرای هوا	۶۲
فصل چهارم نتایج و بحث		۶۳
۴-۱	پارامترهای موثر در تحلیل اگزرسی	۶۴
۴-۲	نتایج حاصل از تحلیل اگزرسی	۶۵
۴-۲-۱	بررسی اثر تغییر دمای هوا و رودی بر راندمان اگزرسی	۶۵
۴-۲-۲	بررسی اثر تغییر دبی هوا بر راندمان اگزرسی	۶۷
۴-۲-۳	بررسی اثر تغییر طول بر راندمان اگزرسی	۶۸
۴-۳	مقایسه نتایج تحقیق حاضر با نتایج تحقیق مرجع (آنالیز اگزرسی پنل فتوولتاییک با خنک کن آب)	۶۹
۴-۴	بحث نتیجه گیری کلی	۷۳
۴-۵	پیشنهادها برای ادامه کار	۷۶
	منابع	۷۷
	پیوست	۸۱

## فهرست اشکال

..... شکل (۱-۱) تحلیل اگرژی	۹
..... شکل (۱-۲) نمای کلی از یک PVT با خنک کن هوا	۱۲
..... شکل (۱-۲) تهیج الکترون به وسیله نور خورشید	۲۵
..... شکل (۲-۱) دستگاه اندازه گیری تست آی-وی	۲۷
..... شکل (۳-۱) سلول خورشیدی حساس شده بارنگ	۳۰
..... شکل (۴-۱) عملکرد سلول خورشیدی حساس شده بارنگ	۳۱
..... شکل (۵-۱) کلکتور صفحه تخت	۳۸
..... شکل (۶-۱) اجزای یک کلکتور بامایع	۳۹
..... شکل (۷-۱) مزایای استفاده از کلکتورهای فتوولتاییک - حرارتی	۴۲
..... شکل (۸-۱) دسته بندی کلکتورهای فتوولتاییک حرارتی صفحه تخت	۴۳
..... شکل (۹-۱) اجزای یک سیستم فتوولتاییک حرارتی	۴۴
..... شکل (۱۰-۱) دسته بندی انواع PVT ها با خنک کن هوا	۴۵
..... شکل (۱۱-۱) انواع PVT ها با خنک کن هوا	۴۶
..... شکل (۱۲-۱) اضافه کردن کاور شیشه ایی به PVT	۴۷
..... شکل (۱۳-۱) نقشه کلکتور مورد مطالعه	۴۹

شکل( ۱-۳ ) تحلیل اگزرسی..... ۵۸

شکل( ۲-۳ ) نمای کلی از یک PVT باخنک کن هوا..... ۵۹

## فهرست جداول و نمودارها

نمودار(۱-۲) اثر اضافه کردن کاور شیشه ایی بر راندمان انرژی و اگزرنژی ..... ۴۷
جدول(۱-۲) مشخصات طراحی پنل مورد مطالعه ..... ۵۰
نمودار(۱-۴) اثر تغییر دمای هوای ورودی بر راندمان اگزرنژی ..... ۶۶
نمودار(۲-۴) بررسی اثر تغییر دبی هوا بر راندمان اگزرنژی ..... ۶۷
نمودار(۳-۴) بررسی اثر تغییر طول بر راندمان اگزرنژی ..... ۶۸
نمودار(۴-۴) بررسی تغییر دمای آب ورودی بر راندمان اگزرنژی ..... ۷۰
نمودار(۴-۵) بررسی اثرات تغییر دبی ورودی بر راندمان اگزرنژی ..... ۷۱
نمودار(۴-۶) بررسی اثرات تغییر طول بر راندمان اگزرنژی ..... ۷۱
جدول(۱-۴) مقایسه بین PVT با خنک کن آب با خنک هوا ..... ۷۲

## علایم و اختصارات

$b$	عرض (m)
$C_f$	ظرفیت گرمایی ویژه هوا (J/kg K)
$d$	عمق (m)
$dt$	المان زمان (s)
$dx$	المان طول (m)
$E_x$	اگزرسی (kWh)
$F_R$	ضریب هدر رفت حرارت
$h$	ضریب انتقال حرارت $W/m^2 K$
$h_b$	ضریب انتقال حرارت سیال به محیط اطراف $W/m^2 K$
$h_{bi}$	ضریب انتقال حرارت پشت تدلار به $W/m^2 K$
$h_i$	ضریب انتقال حرارت سلول خورشیدی به هوا $W/m^2 K$
$h_{p1}$	فاکتور جریمه بخار شیشه ایی
$I(t)$	شدت تابش نورخورشید $W/m^2$
$L$	طول (m)
$m_f$	جرم هوای جریان یافته $kg/s$
$n_{pv}$	تعداد ردیف های مدول

$Q_u$	حرارت مفید جذب شده از هوا
$N$	تعداد مدول ها
$t$	زمان (s)
$T$	دما (C)
$h_T$	ضریب انتقال حرارت پشت تدلا ر به محیط اطراف ( $W/m^2 K$ )
$\bar{T}$	دماهی میانگین (C)
$U$	ضریب انتقال حرارت کلی ( $W/m^2 K$ )
$U_b$	ضریب انتقال حرارت کلی هوا به محیط اطراف ( $W/m^2 K$ )
$U_L$	ضریب انتقال حرارت کلی شیشه به تدلا ر ( $W/m^2 K$ )
$U_{tca}$	ضریب انتقال حرارت کلی سلول خورشیدی به محیط اطراف از طریق شیشه ( $W/m^2 K$ )
$V$	سرعت هوا (m/s)

## زیر نویس

$a$	محیط
$c$	سلول خورشیدی
$eff$	موثر
$f$	سیال (هوا)
$f_i$	سیال ورودی

$f_0$	سیال خروجی
$g$	شیشه
$i$	شدت تابش
$m$	مدول
$p$	پنل
$T$	ت دولار

### حروف یونانی

$\alpha$	جذب
$(\alpha\tau)_{\text{eff}}$	ضریب جذب موثر
$\beta$	فاکتور پک
$\beta_0$	ضریب راندمان دمایی ( $1/K$ )
$\eta$	راندمان(%)
$\tau$	انتقال یافته
$\rho$	( $\text{kg}/\text{m}^3$ ) چگالی

## فصل اول مقدمه

---

## ۱- مقدمه

امروزه تبعات مداخله انسان در محیط زیست بیش از هر زمانی متجلی شده است. مفهوم توسعه با رعایت حفاظت از محیط طبیعی و زیست محیط مترادف است و در شاخص‌های اقتصادی حساب‌های ملی، همچون تولید ناخالص داخلی، ملحوظ نمودن منابع طبیعی و زیست محیطی نیز مطرح است.

انرژی، یک نیاز اساسی برای استمرار توسعه اقتصادی، تدارک و تأمین رفاه و آسایش زندگی بشری است. در حال حاضر، مصرف انرژی جهان معادل ۱۰ میلیارد تن نفت خام در سال بوده و پیش‌بینی شود که این ارقام در سال ۲۰۱۰ و ۲۰۲۰ به ترتیب ۱۲ و ۱۴ میلیارد تن نفت خام افزایش یابد این ارقام نشان می‌دهند که میزان مصرف انرژی جهان در قرن آینده عظیم بوده و بالطبع، این سؤال مهم مطرح است که آیا منابع انرژی‌های فسیلی در قرن آینده جوابگوی نیاز انرژی جهان برای بقا، تکامل و توسعه خواهند بود؟ حداقل به سه دلیل عمده، جواب این سؤال منفی است و باید منابع جدید انرژی را جانشین منابع قدیم کرد. این دلایل عبارتند از: محدودیت و در عین حال مرغوبیت انرژی‌های فسیلی که از نظر منطقی کاربردهای بهتر از احتراق دارند و همچنین مسائل و مشکلات زیست محیطی، به طوری که امروزه حفظ سلامت اتمسفر، از مهم‌ترین پیش‌شرط‌های توسعه اقتصادی پایدار جهانی به شمار می‌آید.<sup>(۱)</sup>

آلینده‌های ناشی از احتراق و افزایش غلظت دی‌اکسیدکربن در اتمسفر و پیامدهای آن، جهان را با تغییرات برگشت ناپذیر و تهدید آمیزی مواجه ساخته است. افزایش دمای کره زمین، تغییرات آب و هوای، بالا آمدن سطح دریاها و درنهایت، تشدید منازعات بین‌المللی، از جمله این پیامدها محسوب می‌شوند. از سوی دیگر، اتمام قریب الوقوع منابع فسیلی و پیش‌بینی افزایش قیمت، سیاست گذاران را به پیشنهاد موازین و سیاست‌هایی برای کنترل محیط زیست و پژوهشگران را به توسعه منابع با آلودگی کمتر و تجدیدپذیری که توان بالقوه ای برای جانشینی با سیستم انرژی کنونی دارند، ترغیب می‌کند.

کلیه انرژی‌های تجدید پذیر، روزبه روز سهم بیشتری در سیستم تأمین انرژی جهان به عهده می‌گیرند. این منابع، امکان پاسخ‌گویی همزمان به هردو شکل اساسی منابع فسیلی را نوید می‌دهند. انرژی‌های تجدیدپذیر،

اساساً با طبیعت سازگار بوده و آلدگی ندارند و چون تجدیدپذیرند پایانی برای آنها وجود ندارد. ویژگی های دیگر این منابع، پراکندگی و گستردگی آنها در تمام جهان، نیاز به فناوری پایین تر، انرژی های تجدیدپذیر را - به ویژه برای کشورهای در حال توسعه - از جاذبه بیشتری برخوردار کرده هم ازین رو، در برنامه ها و سیاست های بین المللی، از جمله در برنامه های سازمان ملل متحد، در راستای توسعه پایدار جهانی، نقش ویژه ای به منابع تجدیدپذیر انرژی محول شده است. اما سازگار کردن منابع تجدیدپذیر؛ با سیستم کنونی مصرف انرژی جهان، هنوز با مشکلاتی همراه است که برای حل آنها، حجم مهمی از تحقیقات علمی جهان را در دهه های اخیر به خود اختصاص داده است.

با توجه به فناوری کنونی بشر، انرژی هسته ای و انرژی برق آبی، دو نوع انرژی جانشین برای سوخت فسیلی می باشند. گفتنی است که پتانسیل برق آبی در جهان محدود بوده وaz طرف دیگر انرژی اتمی نیز، تقریباً در تمامی اروپا، ساخت نیروگاه های اتمی متوقف شده است. کشور ایران از لحاظ منابع مختلف انرژی، یکی از غنی ترین کشورهای جهان محسوب می شود و از یک سو دارای منابع گستردۀ فسیلی نفت و گاز است و از سوی دیگر، دارای پتانسیل فراوان انرژی های تجدیدپذیر، همچون باد، ژئوترمال، خورشیدی و... می باشد. اما ایران، کشور کم آبی است و نیروگاه های آبی بزرگ، دارای پتانسیل محدودی هستند. لذا در چشم انداز دراز مدت جانشین دیگری غیر از تجدیدپذیری به عنوان منبع انرژی دیده نمی شود. (۱)

از منظری دیگر، هر انرژی به لحاظ فناوری ساخت و بهره برداری، مسائل زیست محیطی، ویژگی های فنی، امکان دستیابی، توزیع جغرافیایی و سایر ویژگی ها، دارای مشخصه های خاص خود است. بنابراین، تنوع استفاده از انرژی های مختلف، کشور را به لحاظ تأمین انرژی در وضعیت مطمئن تری قرار خواهد داد و لازم است فناوری آنها در کشور ایجاد شود. البته، فناوری که به میزان زیادی متکی به صنعت، مواد اولیه منابع داخلی است خود بخود، محتاج ارز خارجی کمتری است و از سوی دیگر، فرصت های اشتغال و افزایش تولید داخلی را هموار می سازد. برای رسیدن به این هدف ها، لازم است نظام قیمت گذاری انواع حامل های انرژی، با توجه به هزینه واقعی آنها اصلاح شده و اقدامات اساسی جهت تشویق سرمایه گذاری بخش خصوصی صورت گیرد. ضروری است دولت با پرداخت وام های دراز مدت، واگذاری یارانه های تخصیص یافته در بخش سوخت

های فسیلی به سرمایه گذاری در بخش انرژی های تجدیدپذیر و فراهم آوردن امکان انتقال دانش فنی، زمینه های لازم را برای ساخت و توسعه تأسیسات انرژی های گفته شده درکشور فراهم آورد.

چشم انداز انرژی و محیط زیست جهان تا سال ۲۰۳۰ آب و هوای زمین درنتیجه فعالیت های انسان، به ویژه در بخش انرژی، تغییرات بسیاری یافته است، عمدۀ تغییرات آب و هوایی و زیست محیطی در جهان در سال های اخیر را می توان به شرح زیر خلاصه کرد:

-میزان انتشار  $\text{CO}_2$  در سال ۲۰۰۰ گذشته ۳۱ درصد افزایش یافته است.

-میزان انتشار  $\text{CH}_4$  از سال ۱۸۰۰ به دو برابر افزایش یافته است.

-دمای سطحی کره زمین در قرن گذشته نسبت به متوسط، ۱۴ درجه سانتی گراد معمول، از  $4/0^{\circ}$  تا  $8/0^{\circ}$  درجه افزایش یافته است.

-دهه ۱۹۹۰ به احتمال زیاد گرم ترین دهه در ۱۰۰ سال گذشته بوده است.

-از دهه ۱۹۵۰، دمای حداقل در شب به دو برابر دمای حداقل در روز افزایش یافته است.

-تعداد روزهای سرد سال، تقریباً برای تمام نواحی زمین در قرن گذشته کاهش یافته است.

-نژولات جوی در نیمکره شمالی، ۵ تا ۱۰ درصد افزایش یافته است، هرچند در نواحی خشک (به خصوص آفریقای شمالی و غربی)، این روند معکوس بوده است.

-در اثر افزایش نژولات جوی در عرصه های جغرافیایی میانی و بالا شاهد سیل و طوفان های عظیم و افزون بوده ایم.

-در قرن گذشته، سطح آب های آزاد دریاها در جهان به طور متوسط سالانه ۱ الی ۲ میلی متر افزایش یافته است.

-از دهه ۱۹۵۰ تاکنون، در تابستان یخ های دریای شمال تا ۴۰ درصد نازک تر و ۱۰ تا ۱۵ درصد کم عرض تر شده اند.

-پدیده ال.نی.نو، به کرات و به طور شدیدتر و پایدارتری اتفاق افتاده است.

-فصل رویش تا حدود ۱ تا ۴ روز در هر دهه، در عرض ۴۰ سال گذشته طولانی تر شده اند. - پرنده‌گان، گیاهان، حشرات و ماهیان به طرف قطب ها و عرض های بالاتر تغییر مکان داده اند. پیش بینی می شود بیش از ۶۰ درصد افزایش مصرف انرژی پایه در جهان در دوره زمانی ۲۰۰۰ تا ۲۰۳۰ ناشی از رشد تقاضای انرژی در کشورهای در حال توسعه، به ویژه آسیا خواهد بود. طبق پیش بینی های انجام شده توسط آژانس بین المللی انرژی، براساس سناریوی ادامه روند موجود<sup>۱</sup>، تقاضای جهانی برای انرژی پایه، بین سال های ۲۰۰۰ تا ۲۰۳۰ با میانگین نرخ رشد ۱/۷ درصد در سال به  $15/3$  میلیارد تن معادل نفت خواهد رسید، این امر، به معنی افزایش ۶۷ درصدی مصرف انرژی پایه، معدل  $6/1$  میلیارد تن معادل نفت نسبت به سطح مصرف کنونی ظرف ۳۰ سال آینده است.

در ۳۰ سال آینده میزان انتشار دی اکسیدکربن در اثر تولید و مصرف انرژی، با آهنگی سریع تراز رشد مصرف انرژی پایه، افزایش خواهد یافت. میزان انتشار آن بین سال های ۲۰۰۰ تا ۲۰۳۰ با رشد یکنواخت  $1/8$  درصد در سال، درنهایت به  $38$  میلیارد تن در سال خواهد رسید که به منزله  $70$  درصد افزایش نسبت به میزان انتشار سالانه کنونی است. دو سوم این افزایش ناشی از مصرف درکشورهای درحال توسعه خواهد بود و بخش تولید نیرو و حمل و نقل، بیش از  $75$  درصد افزایش انتشار دی اکسیدکربن را موجب خواهند شد و مکان جغرافیایی رشد انتشار دی اکسیدکربن از کشورهای صنعتی به کشورهای درحال توسعه منتقل خواهد شد. (۱)

#### ● تقسیم بندی انواع انرژی

انرژی، استعداد و توانایی انجام کار را بیان می کند، انرژی شکل های مختلفی دارد که عبارتند از : انرژی مکانیکی، انرژی زمین گرمایی، شیمیایی، الکتریکی، تابشی و انرژی اتمی، که همه انواع انرژی می توانند

به همديگر تبدیل شوند. به طور کلی و به لحاظ اقتصادي که موضوع اصلی چگونگی استفاده از انواع انرژي می باشد، انرژي در جهان به چهار گروه عمدہ زیر تقسیم می شود: (۱)

الف: انرژي های آلدوده کننده و تجدید ناپذير؛

ب: انرژي های آلدوده کننده و تجدید پذير؛

ج: انرژي های بدون آلدودگي و تجدید ناپذير؛

د: انرژي های بدون آلدودگي و تجدید ناپذير و نامحدود.

## ۱-۲-۱ انرژي خورشيدی

حدود دو دهه پس از ورود سلول های فتوولتائیک به عرصه عمومی تولید انرژي، ارتباط تنگاتنگ سیاست و منابع انرژي موجب شد تا دیگر جایی برای بحث توجيه اقتصادي یافتن برای روی آوردن به سمت بهره گيري از انرژي خورشيد و تولیدي الکتریسته نماند. در ايران، چون ايران روی کمربند خورشيدی جهان قرار گرفته است و يكى از كشورهایی است که از تابش نور خورشيد با قدرت و توان مطلوب برخوردار بوده و از مناطق بسیار مستعد برای بهره گيري از این انرژي است، به طوری که میزان تابش متوسط روزانه آفتاب به ۴ کيلوات ساعت بر متر مربع می رسد و متوسط تعداد ساعات آفتابی، از ۲۸۰۰ ساعت در سال بیشتر است. البته، مقادير ذکر شده به طور متوسط بیان شده اند و در شهرهای کویری کشور همچون یزد، ساعات آفتابی به ۳۲۰۰ ساعت نیز می رسد. با توجه به این که، ايران کشور کوهستانی است که اکثر نقاط آن در ارتفاعی بالاتر از ۱۰۰۰ متر از سطح دریا واقع شده اند توان دریافتی از تابش نور خورشيد آن بیشتر خواهد بود. (۱)

گفتنی است که مصرف انرژي های تجدید پذير ايران پاين بوده و از اين رو، هنوز انرژي خورشيدی رسماً تجاری نشده است. مناطقی که پتانسیل بالايی برای انرژي خورشيدی دارند؛ عبارتند از: شيراز، تهران، خراسان، يزد و سمنان. طرح های خورشيدی شامل نیروگاه دریافت کننده مرکзи، سهموي خطی، سیستم فتوولتائیک و آبگرمکن های خورشيدی می باشند. (۱)

### ۱-۳- بررسی امکان استفاده از انرژی خورشیدی از دیدگاه اقتصادی

هر چند هزینه استفاده از انرژی خورشیدی بسیار بالاست، ولی امروزه در سیاست گذاری‌ها فقط هزینه سیستم‌های خورشیدی در نظر گرفته نمی‌شود، بلکه فواید حاصل از بکارگیری آنها، مانند کاهش آلودگی محیط‌زیست نیز مدنظر قرار می‌گیرد، با وجود تمام مسائلی که مطرح می‌شود، می‌توان مناطقی از کشور را یافت که استفاده از انرژی خورشیدی در آنها توجیه اقتصادی دارد. به عنوان نمونه، استفاده از سلول‌های خورشیدی در مناطق دور دست رامی توان در عرض چند سال به قیمت روز رساند. با توجه به فناوری‌های موجود و وسعت استفاده از انرژی خورشیدی در دنیا، به نظر می‌آید در بخش‌هایی مانند گرمایش ساختمان‌ها، تولید آب گرم، طبخ غذا، خشک کن‌ها و آب شیرین کن‌ها، این انرژی می‌تواند با انرژی‌های رایج رقابت کند. تحقیقات انجام شده نشان می‌دهد که در حال حاضر، ساخت نیروگاه‌های مستقل خورشیدی به صرفه نیست بلکه نیروگاه‌های چرخه ترکیبی، همچون خورشیدی- گازی یا خورشیدی- بخاری بسیار اقتصادی خواهند بود.

یکی از موانع مهم در استفاده از انرژی‌های خورشیدی، سرمایه بر بردن صنایع خورشیدی است که باید راهکارهای اساسی آن اندیشه شوند. انواع مختلف انرژی‌های تجدیدپذیر بر اثر وجود آفتاب تولید شده‌اند. سلول‌های فتوولتائیکی که تولید برق می‌کنند، سیستم‌های سهمی و برج‌های مرکز کننده خورشیدی، انرژی باد و انرژی زمین گرمایی همگی انرژی خود را از خورشید می‌گیرند، هم‌اکنون در کشورهای اروپایی به شدت روی انرژی خورشیدی کار می‌شود و استفاده از این انرژی، حرف اول زندگی بشر را در آینده خواهد زد.<sup>(۱)</sup>

## ۱-۲ آنالیز اگزرژی و مقایسه با سایر روش‌های بهینه‌سازی

هدف این تحقیق آنالیز اگزرژی کلکتور فتوولتاییک- حرارتی با خنک هوا میباشد روش آنالیز اگزرژی یک روش جدید و جاگزین مناسب برای روش‌های قدیمی تر است این روش بر مبنای مفهوم اگسرژی پایه ریزی شده است اگسرژی با کمی سهل انگاری به عنوان قابلیت انجام کار یا کیفیت انواع مختلف انرژی نسبت به یک محیط مشخص تعریف میشود آنالیز اگزرژی یک فرایند یا یک سیستم نشان میدهد که چه مقدار از قابلیت انجام کار یا اکزرژی ورودی توسط آن فرایند یا سیستم مصرف شده یا به عبارت دیگر تلف شده است.

اتلاف اگزرژی یا به عبارت دیگر بازگشت ناپذیری میزان ناکارامدی سیستم مورد مطالعه را به صورت کمی نشان میدهد علاوه بر آن اگر سیستم فوق از چند جز تشکیل شده باشد آنالیز اگزرژی چگونگی توضیع بازگشت ناپذیری کلی سیستم را بین اجزا آن نشان داده و مشخص میکند که چه اجزایی نقش بیشتری در بازگشت ناپذیری کلی دارند.(۲)

برخلاف معیارهای عملکرد رایج مفهوم بازگشت ناپذیری اساسا بر مبنای هر دو قانون ترمودینامیک پایه ریزی شده است . اصولاً رابطه ایی که برای آنالیز اگزرژی به کار میرود از ترکیب معادله انرژی حالت پایدار(قانون اول) با نرخ تولید آنتروپی (قانون دوم ) بدست میآید اگرچه در آنالیز اگزرژی به صراحت از قانون دوم استفاده نمیشود اما همان طور که بیان شد به کاربردن روش فوق برای ارزیابی سیستم ، بطور ضمنی مستلزم به کاربردن نتایج حاصل از قانون دوم است اصولاً مطالعه صورت‌های مختلف بازگشت ناپذیری در مقایسه با مطالعه صرف روابط و فرمول‌های مربوط به قانون دوم ، درک بهتری از آن بدست میدهد.(۲)



شکل (۱-۱) تحلیل اگزرژی (۲)

همواره راندمان بالای یک سیستم شرط کافی برای قابل اجرا بودن و مقررین به صرفه بودن آن نمیباشد عواملی همچون هزینه های اولیه هزینه تعمیر و نگه داری و سوخت مصرفی میتواند بر عملی بودن یا نبودن یک پروژه تاثیر گذار باشد.

بطور کلی میتوان ارزیابی کلکتورهای PVT را به دو روش عمدۀ انجام داد

#### الف) تحلیل اگزرژی ب) تحلیل انرژی

تحلیل انرژی نقص هایی دارد که از جمله آن ها میتوان به

۱) تحلیل انرژی به جهت اجرای فرایند کار ندارد. در قانون اول به بالانس انرژی اهمیت داده میشود مثلا در این قانون اهمیت ندارد از محیط با دمای کمتر به محیط با دمای بیشتر برود مهم مقدار گرمای انتقال یافته میباشد.

۲) تحلیل انرژی کیفیت انرژی را مشخص نمیکند مثلا یک وات گرما برابر یک وات کار یا الکتریسیته معرفی میکند.

۳) تحلیل انرژی برخی از فرایندها را درست تفسیر نمیکند مثلا هوای محیط زمانی که به صورت همدما فشرده میشود تغییرات انرژی آن برابر صفر است در حالی که اگزرژی از صفر بزرگتر است

۴) تحلیل انرژی بازگشت ناپذیری درونی را نشان نمیدهد و معیار کاملی برای ارزیابی کلکتور PVT نمیباشد (۳)

## اگزرژی و پینچ<sup>۱</sup>

اگزرژی یکی از راه های تحلیل انرژی است، که در برگیرنده تمامی انرژی های جریان سیال است. این انرژی میتواند ناشی از حرکت واکنش و یا هر چیز دیگر هم باشد.

$G=H-TS$ ، پایه تحلیل اگزرژی است. در واقع به جای موازنۀ انرژی که برای یک جریان در رأکتور نوشته می شود باید از رابطه فوق استفاده شود.

در چند دهه اخیر مباحث ترکیب فرآیندها مطرح شده است. قبل از تصور میشد تنها با کار آمد کردن تک تک فرآیندهای یک سیستم میتوان بهترین شرایط عملکرد سیستم را بدست آورد اما بررسی اثر متقابل فرآیند ها و تاثیر آنها هم بر یکدیگر و بر کل سیستم به کار آمد شدن سیستم منجر می شود. این روش دو قسمت دارد: ابزار تحلیلی که اگزرژی و ابزار کاربردی پینچ . اگزرژی بر مبنای قانون دوم ترمودینامیک و پینچ بر مبنای قانون اول ترمودینامیک می باشد

روش اگزرژی یک راهکار برای آنالیز ترمودینامیکی فرآیند هاست که به طور تقریبی بصورت اندازه گیری جهانی پتانسیل کار یا کیفیت شکلهای مختلف انرژی در ارتباط با یک محیط تعریف میشود. یک کاربرد موازنۀ اگزرژی بیان میدارد که چقدر از پتانسیل کار قابل استفاده (مفید) وارد شده به فرآیند بوسیله فرآیند مصرف شده است. این میزان اتلاف همان بازگشت ناپذیری است.

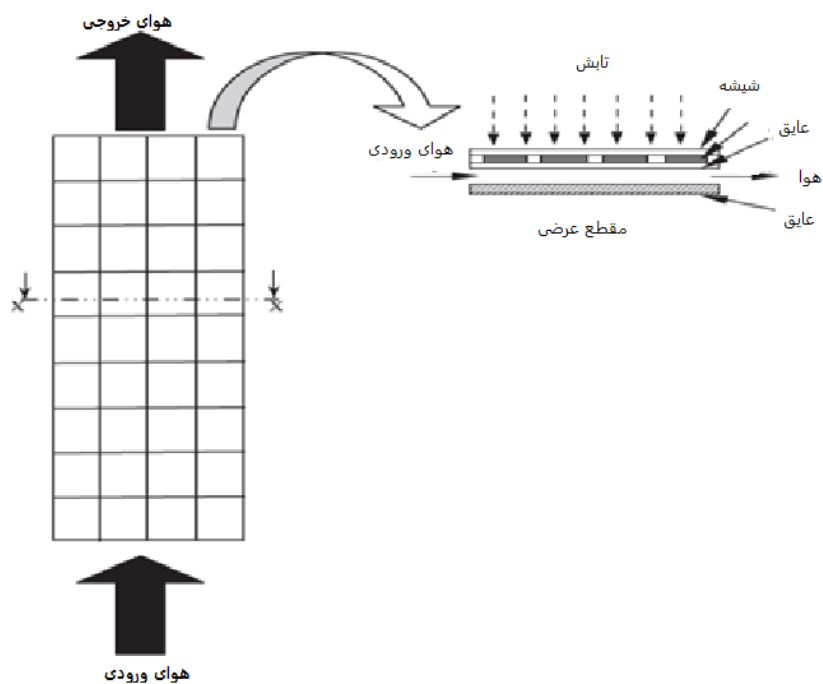
پینچ در واقع یک ابزار کاربردی در صنایع است که از قانون اول ترمودینامیک استفاده می کند. بر اساس نظریه چشمۀ وچاه انرژی ، تحلیلگر پینچ سعی می کند انرژی را از چشمۀ یعنی جایی که انرژی تولید می شود به سمت محلی که به انرژی نیاز است (چاه ) هدایت کند و به این ترتیب از انرژی موجود در سیستم برای رفع نیاز استفاده شود. مسلما این روش باعث کاهش اتلافات انرژی خواهد شد. چشمۀ انرژی میتواند یک جریان گرم سیال و چاه، جریان سرد سیال باشد که البته گرم یا سرد بودن نسبت به جریانهای دیگر معنی پیدا می

کند. تحلیلگر پینچ با در نظر گرفتن مجموعه ای از جریانات و با محاسبات به دمایی میرسد که نقطه پینچ گفته می شود. این نقطه دمای بهینه تبادل جریانات سیستم رو نشان می دهد. برای رسیدن به این نقطه از مبدل‌های حرارتی مناسب استفاده می کنند و مشخص می‌کنند که کدام جریانها وارد چه مبدلی بشوند.

وقتی سیکل یک ماشین گرمایی بررسی می شود، با قانون اول موازنۀ انرژی نوشته می شود و با استفاده از قانون دوم مشخص می شود که چقدر گرمایی میتواند به کار تبدیل شود، که از بازده کارنو استفاده می شود در یک مثال کاربردی وقتی برای یک واحد صنعتی تحلیل پینچ استفاده میشود، اول باید موازنۀ اگزرزی واحد نوشته شود تا معلوم شود چقدر انرژی های موجود قابل تبدیل به یکدیگر هستند، چون کیفیت انرژی ها با هم متفاوت است، مثلا در تماس دو جسم سرد و گرم قانون اول بیان می کند که کل انرژی که جسم گرم از دست می دهد جسم سرد دریافت می کند، اما تحلیل اگزرزی بیان می کند فقط قسمتی از آن انرژی قابل انتقال است. پس میشود گفت اگزرزی قابلیت تبادل انرژی را مشخص می کند و پینچ چگونگی آن را که این دو روش باهم برای برهمنهی انرژی فرآیند استفاده میشوند.

### ۱-۳ اصول کلی آنالیز اگزرژی کلکتور فتوولتاییک حرارتی با خنک هوا

در شکل زیر شمای کلی یک PVT نشان داده شده است



شکل(۲-۱) نمای کلی از یک PVT باخنک کن هوا(۴)

بالанс اگزرژی برای کلکتور فرم زیر پیشنهاد شده است: (۵)

$$\sum E\chi_{out} = \sum E\chi_{thermal} + \sum E\chi_{electrical} + \sum E\chi_{dust} \quad (1-1)$$

همان طوری که از رابطه فوق مشخص است اگزرژی ورودی که ناشی از تابش خورشید است منهای اگزرژی گرمایی و اگزرژی الکتریکی برابر اتلاف اگزرژی خواهد بود همچین بالانس انرژی برای کلکتور فوق توسط آقای تیواری به فرم زیر پیشنهاد شده است: (۶) رابطه (۱-۲)

نرخ انرژی دریافتی از خورشید = نرخ انرژی که از سطح سلول به محیط اطراف هدر می‌رود + انرژی که به هوا (سیستم خنک کن) منتقل می‌شود + نرخ انرژی الکتریکی تولیدی

رابطه فوق پایه ایی برای روابط بعدی می‌باشد که بسط آن از حوصله این بحث خارج است.

بطور کلی در فوق دو معادله اساسی و پایه را مطرح کردیم این دو معادله اساس

آنالیز انرژی و اگزرژی کلکتورهای PVT می‌باشد و در نهایت به کمک آنها می‌توان به معادلات کاربردی تر دست یافت در این تحقیق سعی شده که آنالیز بر اساس پارامترهای طراحی و عملکردی انجام شود و هدف یافتن نقاط بهینه در پارامترهای عملکردی و طراحی می‌باشد بطوری که راندمان اگزرژی حداقل شود (۷)

## ۴-۱ پیشینه تحقیق

ولف<sup>۱</sup> در سال ۱۹۷۰ مفاهیم اساسی کلکتورهای PVT را مطرح کرد (۸)

کاکس و راگورامن<sup>۲</sup> در سال ۱۹۸۵ شبیه سازی کامپیوتری برای میزان جذب تششع خورشید و میزان صدور اشعه مادون قرمز در گرداب‌نده‌های فتوولتایک حرارتی با سیال عامل آب و هوا کار می‌کند کمتر از نوعی است که با سیال عامل آب کار می‌کند (۹)

<sup>۱</sup> wolf

<sup>۲</sup> COX and raghuraman

گارگ و آدیکاری<sup>۱</sup> در سال ۱۹۷۷ مدل دائمی از گرداورنده های فتو ولتاویک حرارتی که با سیال عامل هوا کار میکنند ارئه نمودند تاثیر پارامترهای مختلف را در دو نوع با یک سرپوش شیشه ایی و یک سرپوش شیشه ایی مورد بررسی قرار دادند (۱۰)

فوجی سارا و تانی<sup>۲</sup> در سال ۱۹۹۷ عملکرد سالیانه یک کلکتور مایع صفحه تخت - یک مدول فتوولتاویک - یک کلکتور PVT با پوشش شیشه ایی و یک کلکتور PVT بدون پوشش شیشه ایی را مقایسه کردند و نشان دادند که کلکتور PVT با پوشش شیشه ایی بهترین عملکرد را دارد و بر مبنای تحلیل اگزرژی کلکتور PVT بدون پوشش شیشه ایی بهترین عملکرد را دارد (۱۱)

حجازی در سال ۲۰۰۰ آنالیز محاسباتی بر روی چهار نمونه از گرداورنده های فتوولتاویک حرارتی با سیال عامل هوا را ارئه داد و آن ها از نظر الکتریکی حرارتی هیدرولیکی و... با هم دیگر مقایسه کردند و مناسب ترین نوع را پیش نهاد داد (۱۲)

بوسانگ<sup>۳</sup> و همکاران در سال ۲۰۰۳ تحلیل اکسرژی از یک سیستم PVT مایعی را به صورت مختصراً انجام دادند و یک راندمان اگزرژی ماکزیمم ۱۲ درصد و راندمان انرژی کلی حدود ۶۰ درصد را ارائه دادند (۱۳)

شاهین و همکاران در سال ۲۰۰۷ به تحلیل اگسرژی مدول فتوولتاویک خورشیدی پرداختند و ضمن معرفی مولفه های اگزرژی در مدول فتوولتاویک راندمان اگسرژی مدول فتوولتاویک را به دست آوردند (۱۴)

جوشی و تیواری<sup>۴</sup> در سال ۲۰۰۷ راندمان انرژی و اگسرژی کلکتور PVT را ارائه دادند آنها راندمان انرژی و اگزرژی گرداورنده PVT را به ترتیب ۵۵-۶۵ و ۱۲-۱۵ ارائه دادند (۱۵)

نایاک و تیواری<sup>۵</sup> در سال ۲۰۰۸ عملکرد اگزرژی یک مدول فتوولتاویک متصل به گلخانه را بررسی کردند و راندمان اگزرژی<sup>۶</sup> ۴ درصد برای سیستم مورد نظر را ارائه دادند (۱۶)

<sup>۱</sup> Garg and Adhikari

<sup>۳</sup> Bosance

<sup>۵</sup> Nayak and Tiwari

<sup>۲</sup> Fujisawa and Tani

<sup>۴</sup> Joshi and Tiwari

حقیقین چاو<sup>۱</sup> و همکاران در سال ۲۰۰۹ مقاله ایی در باره آنالیز اگررژیک و انرژیک یک سلول فتوولتاییک حرارتی بدون کاور شیشه ایی را انجام دادند استفاده از کاور شیشه ایی برای پروسه فتوترمیک مناسب است در صورتی که استفاده از کاور برای پروسه فتوولتاییک مناسب نیست و به دلیل کاربردهایی گوناگون دقیقاً نمیتوان مشخص کرد که استفاده از کدام یک به صرفه تر است در این تحقیق اشاره شده بود که بر مبنای محاسبات عددی معتبر و نتایج تجربی کاور شیشه‌ای برای PVT با خنک کن آب با ترمو سیفون مناسب تر است همچنین از دید قانون اول استفاده از کاور برای بدست آوردن انرژی گرمایی بیشتر مناسب تر است ولی از نظر نظر تحیل اگررژی و نیز افزایش راندمان تولید الکتریسیته و نسبت وزن به آب کلکتور مدل بدون کاور مناسب تر توصیف شده است و در نهایت پس از بیان تفاوت‌های بین این دو نوع کلکتور با در نظر گرفتن شش فاکتور آنالیز اگررژی و انرژی برای سلول فتوولتاییک حرارتی بدون کاور شیشه ای انجام شده است (۱۷)

شهسواری و عامری در در سال ۲۰۱۰ به بررسی آرمایشگاهی راندمان الکتریکی و راندمان حرارتی یک کلکتور با سیال عامل هوا پرداختند آن‌ها توان مورد نیاز برای فن را مستقیماً از پنل فتوولتاییک تا مین کردند و نشان دادند برای حالت استفاده از دو فن بیشترین راندمان برای کلکتور‌های مورد بررسی وجود دارد (۱۸)

سرحدی و همکاران در سال ۲۰۱۰ به ارزیابی و بهینه سازی عملکرد یک آرایه فتوولتاییک از منظر اگررژی پرداختند و نشان دادند بهترین حالت زمانی رخ می‌دهد که دمای مدول فتوولتاییک نزدیک به دمای اطراف باشد (۱۹)

حقیقین آگروال و تیواری<sup>۲</sup> در سال ۲۰۱۱ مقاله‌ای در باره آنالیز اگررژیک و انرژیک برای یک مدل فتوولتاییک حرارتی با طرح میکرو کانال (MCPVT) را انجام دادند در این تحقیق فرض بر این است سیستم تحت یک جریان جرمی ثابت از هوا باشد و سپس برای پارامترهای مختلف تحت شرایط آب و هوایی مختلف ارزیابی صورت گرفته است برای این منظور سیستم در شرایط آب و هوایی چهار شهر مختلف در هندوستان قرار گرفت و پارامترهای مختلف بهبود داده شده اند علاوه بر این آنالیز برای PVT با کانال یگانه انجام شده و با مقایسه شده است بر اساس داده‌ها گرمایی واقعی و اگررژی بدست امده سالیانه در مقایسه با مدل MCPVT

<sup>۱</sup>Chow

<sup>۲</sup> Agrawa land Tiwari

تک راهه به ترتیب ۷۰ و ۱۹ درصد افزایش یافته است این مقایسه برای سه شهر دیگر در هندوستان هم انجام شده است (۲۰)

حقیقین راجاریا<sup>۱</sup> و همکاران در سال ۲۰۱۲ مقاله ایی درباره آنالیز کلی اگزرژیک و انرژیک آرایه های فتوولتاییک حرارتی را انجام داده اند در واقع این آنالیز برای آرایش ها مختلف آرایه ها انجام شده است برای نیل به این منظور سه آرایش مختلف در نظر گرفته شده است و برای شرایط آب و هوایی مختلف تلاش شده که بهترین آرایش انتخاب شود (۲۱)

حقیقین آگروال و تیواری<sup>۲</sup> در سال ۲۰۱۳ مقاله ایی درباره آنالیز کلی اگزرژیک و انرژیک و اعتبار کربن برای انواع فتوولتاییک حرارتی با کلکتور هوا انجام داده اند در واقع مقایسه و آنالیز انواع PVT گوناگون شامل PVT بدون کاور شیشه ایی و PVT با کاور شیشه ایی و PVT معمولی برای آب و هوایی ترکیبی سنگال هندوستان انجام شده است همه گرمای بدست آمده و اگزرژی حاصله در طول یک سال برای PVT بدون کاور در مقایسه با PVT معمولی به ترتیب ۲۷ و ۲۹ درصد افزایش یافته است و همچنین PVT با کاور در مقایسه با PVT معمولی به ترتیب ۵۹.۸ و ۶۱ درصد افزایش داشته است و همچنین راندمان اگزرژی بدون کاور شیشه و با کاور به ترتیب ۵۳ و ۵۹٪ درصد در مقایسه با PVT معمولی افزایش داشته است (۲۲)

حقیقین سالوکس و تی سدود<sup>۳</sup> در سال ۲۰۱۳ مقاله ایی درباره آنالیز سلول های فتوولتاییک PV و فتوولتاییک حرارتی PVT بر اساس متدهای اگزرژی انجام دادند برای این منظور یک مدل ساده فتوولتاییک حرارتی برای بررسی در نظر گرفته شده است علاوه بر این انرژی و بالانس اگزرژی برای نشان دادن منابع مختلف اتلاف اگزرژی با هم در نظر گرفته شده است جریان الکتریسیته و فاکتور کاهش ولتاژ برار هدر رفت انرژی در PV است و از این دو دیاگرام برای نشان دادن کاهش اگزرژی استفاده شده است مرحله اول اتلاف اگزرژی هنگام تبدیل نور خورشید صورت میگیرد و مرحله دوم اتلاف بر اثر تاثیر متقابل پتانسیل الکتریکی و کاهش جریان صورت میگیرد هدف مطالعه PVT و مطالعه و بررسی آنها در شرایط گونگون یعنی شدت تابش و دماهای گوناگون محیط که بازگشت ناپذیری با توجه به انرژی و راندمان اگزرژی محاسبه و آنالیز شود (۲۳)

<sup>۱</sup> Rajoria

<sup>۲</sup> Saloux and Teyssedou

<sup>۳</sup> Agrawal and Tiwari

حقیقین میشرا و تیواری<sup>۱</sup> در سال ۲۰۱۳ مقاله ایی در باره‌ی آنالیز اگرژیک و انرژیک برای سلول فتوولتاییک حرارتی با کلکتور آب با دمای ثابت آب کلکتور انجام داده اند این آنالیز به بررسی انرژی گرمایی و الکتریکی و اگرژی خروجی حاصل از دو آرایش متفاوت میپردازد در آرایش اول مدول  $PV$  بخشی از سیستم را میپوشاند و در آرایش دوم مدول  $PV$  همه‌ی سیستم را میپوشاند و نتایج با یک مدل  $FPC$  مقایسه شده است و اثر ناحیه پوشانده شده با  $PV$  بر بهبود عملکرد  $PVT$  بررسی شده است و معادلات را برای حالت اول و حالت ذوم بازنویسی شده است در واقع مورد اول بیشتر برای دریافت انرژی حرارتی مناسب است و مورد دوم بیشتر برای تولید الکتریسیته مناسب است برای مورد اول در یک سال ۴۱۶۳۷ انرژی گرمایی و ۷/۲۳ انرژی الکتریکی حاصل شد و برای مورد دوم در یک سال ۶۵۰۲۰ انرژی گرمایی و ۶۳/۱۳۷۷ انرژی الکتریکی حاصل شد در مقایسه کیس اول نسبت به دوم انرژی گرمایی ۴۸/۹ در صد و اگرژی دریافت شده ۱۶/۳۹ در صد افزایش یافته است(۲۴)

آقایان میشرا و تیواری<sup>۲</sup> در سال ۲۰۱۳ مقایسه بین انواع گوناگون  $PVT$  تحت دمای ورودی یکسان از نقطه نظر اگرژی را انجام دادند آنها دریافتند که بیشترین دریافت سالانه انرژی و اگرژی از مدول‌های نوع سلیکون حاصل میگردد(۲۵)

حقیقین اولاً و مارلتا<sup>۳</sup> در سال ۲۰۱۴ مقاله ایی در باره‌ی آنالیز اگرژی و ترمو اکنومیک برای سلولهای فتوولتاییک حرارتی با کلکتو آب و با کاور شیشه انجام داده اند در واقع تحلیلی بر اساس قانون دوم مبتنی بر شبیه سازی داده شده است همچنین بهینه ترین عملکرد این تکنولوژی اراه شده است میدانیم مناسب ترین حالت برای تولید الکتریسیته در دماها پایین است در صورتی که ما در کلکتور به دنبال حرارت بیشتر هستیم در این تحقیق برای هر شرایط کاری بهینه ترین آب ورودی در صورتی که حداقل تولید اگرژی در سیستم را داشته باشیم محاسبه شده است و در نهایت یک تحلیل ترمو اکنومیک بر مبنای قیمت انرژی گرمایی تولید شده به وسیله کلکتور به عنوان تابعی از اگرژی اراه شده است(۲۷)

---

<sup>۱</sup> Mishra and Tiwari

<sup>۲</sup> Evola and Marletta

حقیقین یزدان پناهی و همکاران در سال ۲۰۱۵ مقاله ایی در باره بررسی آزمایشگاهی راندمان اگررژی سلول های فتوولتاییک حرارتی بر اتفاف اگررژی را انجام داده اند در واقع به وسیله آزمایش و عددی مورد بررسی قرار میگیرد و پارامترهای عملیاتی آن مورد ارزیابی قرار گرفته اند پارامترهای ارزیابی شده شامل شدت تابش خورشید سرعت باد دمای محیط دمای سلول خورشیدی دمای سیال ورودی و خروجی ولتاژ مدار باز جریان مدار کوتاه باز نقطه ماکزیمم ولتاژ نقطه حداکثر جریان قدرت بود شبیه سازی عددی برمبنای یک مدل با ابعاد و گرمای ثابت و چهار پارامتر مدل جریان ولتاژ صورت میگیرد در نهایت اگررژی متفاوت هر جز PVT با خنک کن آب حساب شده است و یک رابطه بر اساس اتفاف اگررژی بدست آورده شده است<sup>(۳)</sup>

حقیقین غلام پور و امیری در سال ۲۰۱۶ مقاله ایی در باره تحلیل اگررژیک یک سلول فتوولتاییک با کلکتور مسطح ترانسپایر انجام داده ند در تحقیق هم مطالعه آزمایشگاهی صورت گرفته و هم مطالعه تئوری .این فرم از PVT ها که بر اساس سیستم خنک شوندگی مبتنی بر هوا کار میکنند هردو نوع انرژی الکتریکی و انرژی حرارتی را تولید میکنند برای توسعه و محک قابلیت های سیستم فوقالذکر یک نمونه ساخته شده و در شرایط محیطی در دانشگاه شهید باهنر کرمان تست شده است به منظور تحلیل ریاضی و محاسبه عدد ناسلت برای PV و قسمت ترانس پایر از تکنیک CFD استفاده شده است و در نهایت براساس حداکثر تابش دریافتی اگررژی حساب شد .نتایج بدست امده تئوری تطابق خوبی با شرایط آزمایشگاهی داشته است<sup>(۲۸)</sup>

## فصل دوم سلول های فتوولتاییک حرارتی با خنک کن هوای

---

## ۱-۲ مبانی فتوولتایک

### ۱-۱-۲ طیف خورشید و فوتون‌ها

سؤال این است که نور خورشید چگونه توصیف می‌شود؟ مشاهده رنگ‌های طیف نشان می‌دهد که نور خورشید می‌تواند به رنگ‌های مختلفی تقسیم شود. همچنین، استفاده از خطوط موازی بسیار نزدیک، به عنوان تئوری پراش، نشان می‌دهد که رنگ‌ها می‌توانند با فاصله خطوط مرتبط باشند. بدین معنی که طول موجی مربوط به هر رنگ وجود دارد. از این رو نور یک موج الکترومغناطیسی است و می‌توان یک طول موج به آن نسبت داد. از سوی دیگر، با مشاهده پدیده‌ای چون اثر فوتوالکتریک می‌شود توضیح داد که نور به صورت بسته‌های کوچک انرژی حرکت می‌کند، که مانند ذره رفتار می‌کنند و فوتون نامیده می‌شوند. در واقع بنا به نظریه کوانتمی، امواج به ظاهر پیوسته الکترومغناطیسی، گستته اند و از بسته‌های گستته‌ای به نام فوتون تشکیل شده‌اند که هر فوتون دارای انرژی مشخصی است که مقدار آن فقط به فرکانس بستگی دارد.

در این بخش، مروری بر انرژی خورشید، مکانیزم تولید و راه‌های انتقال آن داشتیم. همچنین طیف خورشید را در شرایط مختلف بررسی کرده و عوامل مهم اثرگذار بر روی شدت نور خورشید را مطالعه نمودیم. در نهایت مبنایی را برای قابل مقایسه شدن تحقیقات صورت گرفته بر روی سلول‌های خورشیدی معرفی کردیم. این معیار بیانگر یک شدت معین از طیف خورشید در شرایط استاندارد است.<sup>(۲۹)</sup>

مواد از نظر خواص هدایت الکتریکی، به سه دسته رسانا، نیمه‌رسانا و نارسانا تقسیم‌بندی می‌شوند. در سلول‌های خورشیدی، ما نیاز به استفاده از مواد نیمه‌رسانا داریم. مواد نیمه‌رسانا موادی هستند که گاف انرژی آنها کم‌تر از گاف انرژی مواد نارسانا است. بنابراین اگر بتوان انرژی مورد نیاز را برای الکترون‌ها تامین کرد، الکترون‌ها می‌توانند از سد انرژی ناشی جاذبه هسته عبور کرده و به تراز هدایت بروند. در مواد رسانا، عملاً این

جاذبه هسته کمتر است و الکترون‌ها به راحتی می‌توانند وارد تراز بالایی شده و در رسانش ماده همکاری کنند. اکنون سوال این است که چرا برای تولید جریان الکتریکی فقط مواد نیمه‌رسانا قابل استفاده هستند؟

## ۲-۱-۲ تولید الکترون و حفره

به منظور تولید جریان الکتریکی، به الکترون‌ها نیاز داریم. در واقع، باید بتوانیم تعدادی الکtron را تولید کرده و آنها را در یک سیم یا مدار به حرکت درآوریم. پس دو شرط لازم برای تولید جریان الکتریکی عبارتند از: اول تولید الکترون و دوم به حرکت در آوردن الکترون تولید شده.

مواد رسانا به خودی خود تعداد بسیار زیادی الکترون آزاد دارند و شرط اول را به خوبی مهیا می‌کنند. برای تولید الکترون در مواد نیمه‌رسانا و نارسانا، لازم است شرایطی فراهم شود که الکترون‌های تراز ظرفیت بتوانند بر سد پتانسیل ناشی از گاف انرژی غلبه کرده و خود را به تراز هدایت ماده برسانند. در این صورت، این الکترون‌ها می‌توانند در هدایت الکتریکی ماده نقش ایفا کنند. برای غلبه بر این سد انرژی، باید به ماده انرژی بدھیم. این انرژی می‌تواند به شکل گرما یا امواج الکترومغناطیسی باشد. همچنین امواج الکترومغناطیسی نیز دارای انرژی هستند. انرژی امواج الکترومغناطیسی بر حسب طول موج آنها مطابق با رابطه زیر قابل محاسبه است:

$$E = h.c/\lambda \quad (1-2)$$

در این رابطه،  $E$  انرژی موج ( $J$ )،  $(h)$  یک عدد ثابت به نام ثابت پلانک،  $C$  سرعت نور ( $m/s$ ) و  $\lambda$  طول موج نور ( $m$ ) است. همان طور که در این رابطه مشاهده می‌کنید، انرژی هر موج، با طول موج آن رابطه عکس دارد .

یکی دیگر از راههای تامین انرژی مورد نیاز الکترون‌های تراز ظرفیت برای رسیدن به تراز هدایت و غلبه بر سد انرژی، استفاده از نور خورشید است که گسترهای از خانواده امواج الکترومغناطیسی را در بر می‌گیرد. طبق رابطه بالا، اگر سد پتانسیل خیلی بزرگ باشد (مانند مواد نارسانا)، برای تامین انرژی غلبه بر سد، نیاز به طول موج‌های کوچک‌تر داریم؛ در حالیکه در مواد نیمه‌رسانا، این سد انرژی کوچک‌تر است و با استفاده از امواج با طول موج‌های بزرگ‌تر می‌توان بر این انرژی غلبه کرد.

واحد انرژی در سیستم یکاهای بین‌المللی **SI**، ژول (**J**) است. این واحد انرژی برای بررسی ساختار الکترونی مواد، واحد بسیار بزرگی است و نیاز داریم از واحدی کوچک‌تر استفاده کنیم. واحد جایگزین، واحدی با عنوان الکترون-ولت با نماد **eV** است که بیانگر انرژی لازم برای اعمال اختلاف پتانسیل یک ولت به یک الکtron است. در فیزیک دبیرستان دیدیم که انرژی الکتریکی از رابطه  $E=qV$  به دست می‌آید. در این رابطه **q** بار الکتریکی و **V** اختلاف پتانسیل الکتریکی است. بنابراین برای تبدیل این دو واحد می‌توان از رابطه زیر استفاده نمود: (۲۹)

$$eV = -1.6 \times 10^{-19} \quad \text{رابطه (۲-۲)}$$

همان طور که مشاهده می‌کنید، واحد **eV** بسیار کوچک‌تر از واحد ژول است. این واحد برای استفاده در مباحث مربوط به نیمه رساناهای سلول‌های خورشیدی مناسب است. گاف انرژی برای مواد نیمه رسانا کمتر از **eV** و برای مواد نارسانا بیشتر از این مقدار است. از این به بعد، برای نمایش بزرگی انرژی، از واحد **eV** استفاده می‌کنیم. با این توضیح، می‌توان رابطه انرژی هر موج را به صورت زیر بازنویسی کرد: (۲۹)

$$E(eV) = 1240 / \lambda(\text{nm}) \quad \text{رابطه (۳-۲)}$$

با توجه به اینکه در محدوده طول موج‌های مرئی و UV طول موج‌ها از مرتبه چند صد و چند ده نانومتر هستند، رابطه (۲-۳) برای محاسبه انرژی بر حسب eV بسیار مناسب است.

### ۳-۱-۲ لزوم استفاده از نیمه‌رساناهای برای تولید الکترون و حفره

رابطه ۲-۲ را می‌توان برای محاسبه انرژی هر موج مشخص به کار برد. با استفاده از این رابطه مشخص می‌شود که انرژی نور مرئی خورشید که سهم عمدۀ نور خورشید رسانید به سطح زمین را تشکیل می‌دهد، طول موج ناحیه مرئی خورشید در محدوده ۴۰۰ تا ۷۰۰ است. در مواد عایق، برای جبران انرژی گاف به طول موج‌های بسیار کمتری از نور مرئی نیاز داریم. بنابراین استفاده از مواد عایق در سلول‌های خورشیدی به عنوان تولید کننده زوج الکترون-حفره امکان‌پذیر نیست. با توجه به این توضیحات؛ برای استفاده در سلول‌های خورشیدی، مواد نارسانا امکان تولید الکترون و ایجاد جریان را ندارند و برای این منظور مناسب نیستند. البته اگر موج‌هایی با انرژی بسیار بالاتر از نورهای مرئی مورد استفاده قرار گیرند، مواد عایق نیز امکان تولید الکترون و حفره دارند؛ ولی در سلول‌های خورشیدی، قرار است از نور خورشید استفاده کنیم که بیشترین شدت آن بر روی زمین در ناحیه مرئی طیف نور است.<sup>(۲۹)</sup>

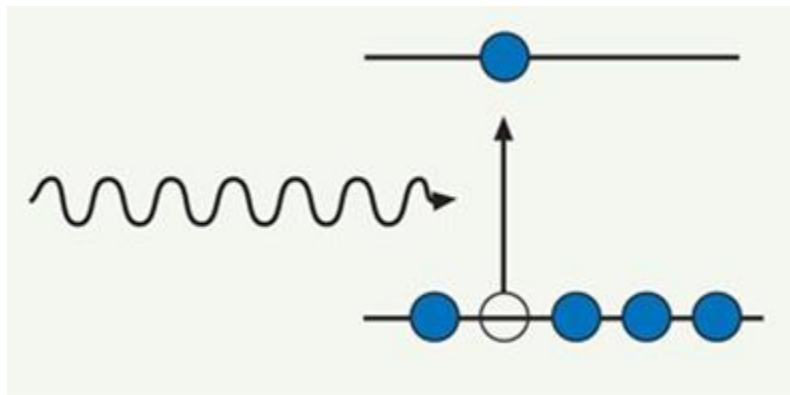
بر اساس آنچه به عنوان شرط دوم استفاده از یک ماده در سلول خورشیدی بیان شد، برای استفاده از الکترون‌های تولید شده، لازم است که یک اختلاف پتانسیل بین الکترون‌ها ایجاد شود. بنابراین، فلزات علیرغم اینکه به خودی خود الکترون‌های آزاد بسیار زیادی را در اختیار ما قرار می‌دهند، نمی‌توانند شرط دوم تولید جریان را مهیا نمایند. رساناهای فقط در مواردی استفاده می‌شوند بخواهیم با اعمال یک اختلاف پتانسیل الکتریکی، تعدادی الکtron از جایی به جای دیگر منتقل کنیم. در این شرایط رساناهای به دلیل تعداد قابل توجه الکترون آزاد (الکترون‌هایی که در تراز آخر اتم وجود دارند)، به راحتی این جریان الکترون‌ها منتقل می‌کنند. به عبارت دیگر، با استفاده از فلزات نمی‌توان پتانسیل داخلی در سیستم ایجاد کرد و نیاز به ایجاد یک اختلاف پتانسیل بیرونی برای انتقال حامل‌های آزاد داریم. ولی در نیمه‌رساناهای، به دلیل فاصله ترازهای انرژی از یکدیگر،

با استفاده از یک سیستم چندلایه‌ای، می‌توان یک پتانسیل داخلی در سیستم ایجاد کرد و باعث جدا شدن الکترون‌ها و حفره‌ها از یکدیگر شد. در این شرایط الکترون‌ها به سمت الکترود مثبت و حفره‌ها به سمت الکترود منفی می‌روند.

## ۴-۱-۲ ارتباط بین نیمه‌رساناها و سلول‌های خورشیدی

در سلول‌های خورشیدی، برای تولید الکترون و در نتیجه ایجاد جریان، از مواد نیمه‌رسانا استفاده می‌شود. در واقع، قلب یک سلول خورشیدی، یک ماده نیمه‌رسانا است که می‌تواند با دریافت نور خورشید، الکترون تولید نماید. در فیزیک کوانتوم گفته می‌شود که نور خورشید شامل بسته‌های انرژی است. در واقع فرض می‌شود که انرژی، به صورت بسته‌های مجزا و جداگانه منتقل می‌شود. این بسته‌های جداگانه، فوتون نامیده می‌شوند. می‌توان اینگونه فرض کرد که یک باریکه نور خورشید، شامل تعداد بسیار زیادی تک موج است که هر کدام از آنها را می‌توان معادل یک بسته انرژی یا فوتون فرض کرد. انرژی هر فوتون، بر اساس همان رابطه انرژی موج که قبلاً به آن اشاره شد، مشخص می‌شود. زیرا هر فوتون مانند یک موج، دارای طول موج معین است. پس از برخورد فوتون با ماده نیمه‌رسانا، انرژی فوتون به الکترون داده می‌شود. اگر انرژی فوتون برابر یا بیشتر از انرژی سد پتانسیل یا همان گاف انرژی باشد، الکترون می‌تواند بر سد انرژی گاف غلبه کرده و خود را به تراز هدایت ماده برساند. این پدیده در شکل ۱ نشان داده شده است. همان طور که در نانوالکترونیک خوانده‌اید، به محض اینکه الکترون از تراز ظرفیت ماده جدا شده و به سمت تراز هدایت می‌رود، به جای آن یک حفره ایجاد می‌شود. مادامی که نور خورشید در حال برخورد به ماده نیمه‌رسانا است، الکترون تولید شده و به تراز هدایت ماده می‌رود. مشابه این پدیده را در زندگی روزمره خود بسیار دیده‌ایم. برای مثال، توپی را در نظر بگیرید که در حالت طبیعی خود تمایلی به بالا رفتن ندارد. پرتاب نمودن این توپ به ارتفاع بالاتر از دیدگاه «انرژی» معادل این است که بخواهید آن را از سطح انرژی پتانسیل گرانشی پایین‌تر (ارتفاع کمتر) به سطح انرژی پتانسیل گرانشی بالاتر (ارتفاع بالاتر) منتقل نمایید. بنابراین اگر بخواهید به نحوی توپ را به بالا پرتاب کنید، باید مقدار مناسبی انرژی به توپ بدهید تا بتواند بر سد نیروی گرانشی زمین غلبه کرده و به بالا برود؛ مثلاً توپ را شوت

کنید! پس از اینکه توپ بالا رفت و به ارتفاع مورد نظر رسید، چون این سطح انرژی برای توپ غیرتعادلی است، توپ برای رسیدن به تعادل، دوباره به پایین بر می‌گردد. در واقع توپ تمايل دارد با کاهش انرژی پتانسیل خود، به شرایط تعادلی اولیه‌اش برگردد. بنابراین به پایین سقوط می‌کند



شکل(۱-۲) تهییج الکترون به وسیله نور خورشید(۲۹)

مشابه این اتفاق برای الکترون‌ها هم رخ می‌دهد. پس از اینکه الکترون با دریافت انرژی بر سد پتانسیل الکتریکی گاف غلبه کرد و به تراز هدایت رفت، هیچ تمایلی به باقی ماندن در آن ندارد و به سرعت می‌خواهد به تراز ظرفیت برگشته تا به سطح پایدار برسد. اگر این اتفاق رخ دهد، دیگر نمی‌توان از الکترون استفاده کرد و در نتیجه، امکان تولید هیچ جریانی وجود ندارد. پس باید شرایطی برای الکترون ایجاد کرد که این اتفاق رخ ندهد.

## ۱-۵ اثر فوتولتایی

پدیده تبدیل پرتو نوری به انرژی الکتریکی، اثر فوتولتایی  $PV$ ، نامیده می‌شود. دو قطعه مهم که بر اساس اثر فوتولتایی کار می‌کنند، سلول خورشیدی و آشکارساز نوری هستند. هنگامی که یک فوتون با انرژی  $h\nu$  (ثابت پلانک  $h$  و فرکانس نور  $V$  است) که بزرگ‌تر یا مساوی با گاف نواری است، با یک نیمه رسانا برخورد می‌کند، جذب نور و در نتیجه تولید یک جفت الکترون-حفره می‌تواند رخ دهد که تولید انرژی الکتریکی بر همین پایه است. در این روش با بکارگیری سلول‌های خورشیدی، تولید مستقیم الکتریسیته از تابش خورشید امکان‌پذیر می‌شود. پدیده‌ی فوتولتائیک فقط با برخی از طول موج‌ها ایجاد می‌شود. این به آن دلیل است که بسته‌های نور (فوتون‌ها) باید یک حداقل انرژی برای برانگیختن الکترون‌های ماده داشته باشند. بخشی از فوتون‌ها که انرژی کافی برای برانگیختن الکترون در مولکول یا نیمه رسانا را نداشته باشند، توسط ماده فوتولتائیک جذب نمی‌شوند. از سوی دیگر، اگر انرژی فوتون بیش‌تر از میزان انرژی لازم برای برانگیختن الکترون باشد، انرژی اضافی هدر می‌رود. این دو پدیده باعث می‌شود که ۷۰٪ درصد از انرژی خورشید بدون مصرف باقی بماند. (۲۹)

## ۲-۲ برخی از آنالیزهای مربوط به سلول‌های خورشیدی

### ۱-۲-۲ آنالیز جریان-ولتاژ سلول خورشیدی<sup>۱</sup>

تست  $I-V$  اولین و پایه‌ای ترین آنالیز سلول خورشیدی است. در این آنالیز بازده سلول و همچنین ولتاژ مدار باز، جریان مدار کوتاه و فاکتور پر کنندگی سلول تعیین می‌شود. علاوه بر این، از شکل منحنی جریان-ولتاژ اطلاعاتی نیز در مورد مقاومت‌های سری و موازی سلول بدست می‌آید. به طور کلی در این تست با تابش نور سفید و بستن یک ولت متر و یک آمپرسنچ به کمک یک رئوستا مقاومت افزایش می‌یابد و در نتیجه با افزایش مقاومت

<sup>۱</sup>Solar Cell J-V Analysis

تا بی نهایت شدت جریان به صفر می‌رسد و در این زمان می‌شود رابطه‌ی بین ولتاژ و آمپر را مقایسه کرد و توان ماکزیمم را حساب نمود و طبق فرمولی با داشتن مساحت سلول و همچنین شدت نور سفید تابانده شده به راندمان سلول دست یافت.



شکل( ۲-۲ ) دستگاه اندازه گیری تست آی-وی ( ۲۹ )

## ۲-۲-۲ اندازه گیری بازده طیفی سلول خورشیدی<sup>۱</sup>

اندازه گیری بازده طیفی سلول خورشیدی یا بازده کوانتمی خارجی سلول با تاباندن نور با طول موج مشخص به سلول و اندازه گیری جریان سلول انجام می‌شود. با مقایسه جریان سلول با جریان یک فوتودیود کالیبره شده در هر طول موج می‌توان بازده طیفی را اندازه گرفت.[۲۹]

---

<sup>۱</sup>Incident Photon to Current Conversion Efficiency

### **۳-۲-۲ اندازه‌گیری سطح فرمی و بار تجمع یافته<sup>۱</sup>**

این آنالیز عمدتاً برای سلول‌های خورشیدی رنگدانه‌ای انجام می‌شود. با استفاده از این آنالیز چند پارامتر مهم سلول خورشیدی رنگدانه‌ای به شرح زیر قابل اندازه‌گیری است:

اندازه‌گیری تراز فرمی در حالت مدار باز در شدت‌های مختلف نور

اندازه‌گیری جریان اتصال کوتاه در شدت‌های مختلف نور

اندازه‌گیری تراز فرمی الکترود در حالت اتصال کوتاه

اندازه‌گیری عمق و چگالی ترازهای انرژی در الکترودهای نانوساختاری در حالت مدار باز

اندازه‌گیری چگالی بار تجمع یافته در حالت اتصال کوتاه<sup>(۲۹)</sup>

### **۴-۲-۲ طیف‌سنجی امپدانس الکتروشیمیایی<sup>۲</sup>**

طیف‌سنجی امپدانس الکتروشیمیایی یکی از مهم‌ترین روش‌های مشخصه‌یابی سیستم‌های الکتروشیمیایی و از جمله‌ی آن سلول‌های خورشیدی فتوالکتروشیمیایی رنگدانه‌ای است. امپدانس به صورت نسبت ولتاژ به جریان سیگنال تعریف می‌شود.<sup>(۲۹)</sup>

---

<sup>۱</sup> Fermi level and accumulated charge

<sup>۲</sup> Electrochemical Impedance Spectroscopy

## ۳-۲ انواع سلول‌های خورشیدی

مواد گوناگونی تاکنون در ساخت سلول‌های خورشیدی استفاده شده‌اند که بازده و هزینه‌های ساخت متفاوتی دارند. در واقع این سلول‌ها باید طوری طراحی شوند که بتوانند طول موج‌های نور خورشید را که به سطح زمین می‌رسد با بازده بالا به انرژی مفید تبدیل کنند. در منابع مختلف انواع گوناگونی از تقسیم‌بندی‌ها در زمینه سلول‌های خورشیدی انجام می‌شود. بر حسب موادی که برای ساخت سلول‌های خورشیدی استفاده می‌شوند سلول‌های خورشیدی در چهار نسل قرار می‌گیرند که در ذیل به آنها اشاره شده است:

ویفرهای سیلیکون تک بلوری سیلیکون بی‌شکل، سیلیکون چندبلوری، کادمیوم تلوراید، آلیاژ مس-ایندیوم-گالیم-دی سلناید

سلول‌های نانوبلور، سلول‌های فتوالکتروشیمیایی، سلول‌های پلیمری، سلول‌های خورشیدی حساس شده با رنگ بلورهای معدنی هیرید شده داخل ماتریکس پلیمری همچنین سلول‌های خورشیدی را از نظر فناوری ساخت می‌توان به سه دسته تقسیم کرد، که سلول‌های خورشیدی آلی یکی از این موارد است که جزو نسل سوم سلول‌های خورشیدی هستند.

## ۱-۳-۲ سلول‌های خورشیدی مبتنی بر مواد آلی

سلول‌های خورشیدی ساخته شده از مواد آلی در مقایسه با همتایان دیگر خود بازده بسیار کمتری دارند. اما به دلیل هزینه ساخت پایین و همچنین قابلیت‌هایی مانند انعطاف‌پذیری برای مصارف غیرصنعتی مناسب هستند. به صورت کلی این نوع از سلول‌های خورشیدی مزیت‌های متعددی از قبیل فراوری آسان، انعطاف‌پذیری، سبک وزنی و هزینه ساخت کم را دارد. انواعی از سلول‌های خورشیدی مبتنی بر مواد آلی شامل سلول‌های

خورشیدی حساس به رنگ، سلول‌های خورشیدی پلیمری و سلول‌های خورشیدی مبتنی بر کریستال‌های مایع<sup>۱</sup> هستند.<sup>۲۹</sup>

## ۳-۲ سلول‌های خورشیدی حساس شده با رنگ<sup>۲</sup>

امروزه، بیشترین سلول‌های خورشیدی تجاری از سیلیکون (بیش از ۸۶ درصد) ساخته شده‌اند، در حالیکه استفاده از سیلیکون در دستگاه فوتولوئیک ممکن است به دلیل قیمت بالای تولید محدود شود. به طور کلی، از ویژگی‌های سلول‌های خورشیدی حساس شده با رنگ در مقایسه با سلول‌های خورشیدی معدنی می‌توان به هزینه‌ی پایین تولید، تنوع رنگ و شکل، انعطاف‌پذیری و سبک وزنی اشاره کرد (شکل ۳-۲). این در حالی است که سلول‌های خورشیدی حساس شده با رنگ نسبت به سلول‌های خورشیدی معدنی بازده پایین‌تری نشان می‌دهند که لازم است به طور قابل توجهی بهبود داده شود. سلول خورشیدی حساس شده با رنگ از دسته سلول‌های لایه نازک به شمار می‌آید و تنها نمونه‌ای از فناوری نسل سوم سلول‌های خورشیدی است که تاکنون به مرحله‌ی تجاری سازی رسیده است.

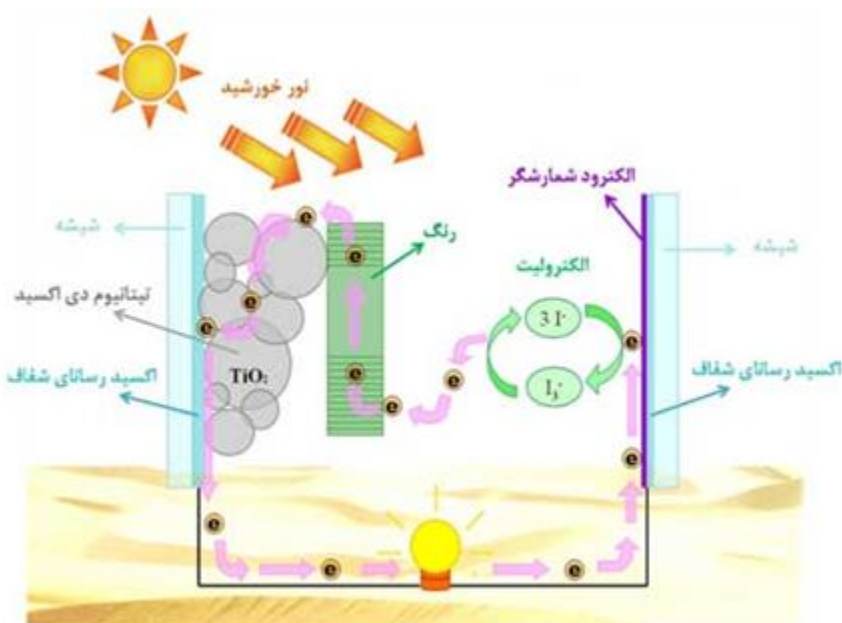


شکل (۳-۲) سلول خورشیدی حساس شده با رنگ (۲۹)

<sup>۱</sup> Liquid Crystals

<sup>۲</sup> Dye-sensitized Solar Cell, DSSC

سطح شبکه بزرگ طراحی می‌شود و هر قسمت آن با یک رنگ یا پوششی از نقاط کوانتومی، که به عنوان رنگ عمل می‌کنند، پوشانده می‌شود. سپس یک الکتروولیت برای نفوذ ساختار شبکه پوشش داده شده حاصل، مورد استفاده قرار می‌گیرد تا یک کanal یا مجرایی بین رنگ و آند ایجاد کند. رنگ نور را جذب می‌کند و تولید اکسیتون (الکترون-حفره) می‌کند، که در سطح مشترک رنگ - نیمه هادی تفکیک می‌شود و منجر به ایجاد الکترون‌ها توسط فوتون برای نیمه هادی و مولکول‌های رنگ اکسید شده به وسیله الکتروولیت (که باید کاهش یابند و دوباره تولید شوند) می‌شود. اجزای تشکیل دهنده سلول خورشیدی حساس شده با رنگ شامل بخش‌های مهمی همچون شبشهی پوشیده شده با اکسید رسانای شفاف، نانوذرات تیتانیوم دی اکسید<sup>۱</sup>، رنگ‌های حساس به نور، الکتروولیت اکسایش- کاهش، الکترود شمارشگر (کاتد) و مواد ضد نشت (شکل ۲-۲) است. (۲۹)



شکل(۲-۴) عملکرد سلول خورشیدی حساس شده بارنگ (۲۹)

<sup>۱</sup> Titanium dioxide, TiO<sub>2</sub>

به طور کلی با نگاه اجمالی در ساختار سلول‌های خورشیدی حساس شده با رنگ، باید این سلول‌ها را مشابه با یک باتری قلیایی تجاری دانست که در آن یک آند و یک کاتد در دو طرف الکتروولیت مایع قرار می‌گیرند. به این ترتیب که نور خورشید از طریق الکترود شفاف وارد لایه‌ی رنگ شده و الکترون‌های آن را برانگیخته می‌کند. سپس این الکترون‌ها به نانوذرات تیتانیوم دی اکسید نیمه رسانا منتقل خواهد شد. با جذب الکترون‌ها در این نوار ممنوعه، میدان الکتریکی و سپس جریان ایجاد می‌شود. این جریان وارد مدار شده و به کاتد انتقال می‌یابد. کاتد همچنین نقش یک کاتالیزور را دارد و الکترون‌ها را وارد محلول الکتروولیت (یدید/ تری یدید) می‌کند تا از طریق واکنش شیمیایی در الکتروولیت، الکترون‌ها دوباره وارد مولکول رنگ شوند.

### ۳-۳-۲ سلول‌های خورشیدی پلیمری

از ویژگی‌های بارز سلول‌های خورشیدی پلیمری می‌توان به مواردی مانند: هزینه کم، وزن سبک و ساخت راحت اشاره نمود. اما آنچه بر اهمیت آنها می‌افزاید، قابلیت حل شدن مواد مورد استفاده در حلال‌های آلی است که تهیه سلول‌های خورشیدی انعطاف‌پذیری را امکان‌پذیر می‌سازد.

سلول‌های خورشیدی پلیمری دارای ویژگی‌های خاصی هستند. چون مواد اکتیو استفاده شده برای ساخت قطعات قابل حل شدن در حلال‌های آلی بسیاری هستند، بنابراین سلول‌های خورشیدی پلیمری دارای پتانسیل لازم برای انعطاف‌پذیری و قابلیت ساخت در یک فرآیند چاپ پیوسته همانند چاپ روزنامه را دارند.

اخیرا بازده تبدیل توان حدود ۶ درصد گزارش شده است ولی این مقدار با مقادیر لازم برای کاربردهای معمول فاصله دارد.<sup>(۲۹)</sup>

## **۴-۳-۲ سلول‌های خورشیدی مبتنی بر کریستال‌های مایع**

در نمونه‌ای از سلول‌های خورشیدی از این نوع، از کریستال‌های مایع سtonی برای ساخت سلول استفاده می‌شود. گروهی از کریستال‌های مایع می‌توانند به حالت سtonی وجود داشته باشند. حالت سtonی حالتی است که مولکول‌های تشکیل‌دهنده کریستال‌های مایع که می‌توان آنها را به دیسکی تشبیه کرد روی هم قرار گرفته و سton‌هایی را تشکیل می‌دهند. در ابتدا این گروه از کریستال‌های مایع، کریستال‌های مایع دیسکی نامیده می‌شدند. زیرا هر سton از روی هم چیده شدن صفحات دیسک مانند مولکول‌ها روی هم درست می‌شود. تحقیقات اخیر نشان داده است که بعضی از کریستال‌های مایع سtonی از واحدهای غیردیسکی ساخته می‌شوند در نتیجه بهتر است به این گروه از مواد کریستال‌های مایع سtonی گفته شود.

## **۴-۳-۳ سلول‌های خورشیدی مبتنی بر سیلیکون کریستالی**

رایج‌ترین ماده توده برای سلول خورشیدی، سیلیکون کریستالی است. ماده توده سیلیکون با توجه به نوع کریستال و اندازه کریستال به چندین بخش تقسیم می‌شود:

سیلیکون تک کریستالی

سیلیکون پلی کریستالی یا چند کریستالی

سلول‌های خورشیدی مبتنی بر سیلیکون لایه نازک غیرکریستالی (آمورف)

هزینه پایین یکی از مزایای سلول‌های خورشیدی برپایه سیلیکون آمورف (a-Si) است. دو جزء اصلی آلیاژ a-Si، سیلیکون و هیدروژن است. علاوه براین، مشخصه یک آلیاژ a-Si داشتن ضریب جذب بالاست. تنها یک لایه نازک برای جذب نور نیاز است و این باعث کاهش هزینه مواد می‌شود. (۲۹)

## ۶-۳-۲ سلول‌های خورشیدی لایه نازک<sup>۱</sup>

اولین لازمه موادی که باید در یک قطعه مبدل انرژی فتوولتائیک خورشیدی به کار برود، تطبیق گاف انرژی با طیف خورشیدی و نیز داشتن قابلیت تحرک بالا و طول عمر حامل‌های زیاد هستند. این شرایط توسط سیلیسیم برآورده می‌شوند. مواد گروه V – III علی‌رغم هزینه‌های بالای استحصال و ساخت این نیمه هادی‌ها، با موفقیت زیاد در کاربردهای فضایی که در آنها هزینه، فاکتور مهمی نیست مورد استفاده قرار گرفته‌اند. در سال ۱۹۶۱، کوییز و شوکلی<sup>۲</sup> با در نظر گرفتن یک سلول خورشیدی پیوندی به شکل یک جسم سیاه با دمای ۳۰۰ کلوین نشان دادند که بیشترین بازدهی یک سلول خورشیدی صرف نظر از نوع فناوری بکار رفته در آن، ۳۰ درصد است که برای سلولی با گاف انرژی ماده برابر  $eV1.39$  بدست می‌آید. با توجه به اینکه انرژی شکاف گالیم آرسناید برابر  $eV 1.424$  است می‌تواند ماده مناسبی برای طراحی سلول‌های خورشیدی باشد. سلول‌های خورشیدی ساخته شده بر پایه لایه نازک به عنوان نسل دوم سلول‌های خورشیدی نام‌گذاری می‌شوند. (۲۹)

---

<sup>۱</sup> GaAs

<sup>۲</sup> Shockley and Queisser

## ۲-۳-۷ سلول‌های خورشیدی مبتنی بر نقاط کوانتمی

یک فاکتور محدود کننده برای بازده تبدیل انرژی در سلول‌های خورشیدی با یک شکاف انرژی این است که انرژی فوتون جذب شده بالای شکاف انرژی نیمه هادی در اثر اندرکش الکترون - فوتون به صورت گرمایشی تلف می‌شود تا حامل‌ها به لبه شکاف باند انرژی رسیده و به اصطلاح به آرامش برسند.

در سال‌های اخیر روش‌هایی برای کاهش این تلفات با استفاده از ساختارهای کوانتمی از جمله چاههای کوانتمی و نقاط کوانتمی ارائه شده است. در این ساختارها هنگامی که حامل‌ها در نیمه هادی به وسیله سدهای پتانسیل به نواحی خاصی که کوچک‌تر یا قابل مقایسه با شعاع بوهر اکسیتون‌ها در نیمه هادی توده است محدود می‌شوند، دینامیک آرامش کاملاً متفاوت خواهد بود.<sup>(۲۹)</sup>

## ۴-۲ فناوری‌های سیستم‌های حرارتی خورشیدی

سیستم‌های حرارتی خورشیدی شامل سیستم‌هایی می‌شود که بر پایه گردآورنده‌های حرارتی با دمای پایین عمل می‌نماید. این سیستم‌ها از منبع خورشیدی برای مصرف نهائی حرارتی استفاده می‌کنند. این سیستم‌ها خود شامل ۲ گروه گردآورنده‌های تخت(کلکتورهای تخت) و گردآورنده‌های با مرکز کم(کلکتورهای متمرکز کننده) می‌شوند.

سیستم‌های حرارتی دارای یک بخش ذخیره هستند تا حرارت خورشید را برای استفاده در شب ممکن نمایند. اکثر سیستم‌های حرارتی خورشیدی برای گرمایش آب بطور تجاری، استخرهای شنا یا آب مصرفی خانه‌های

ویلائی، آپارتمانی و هتل ها و ...، و همچنین بخش بزرگی از تقاضا برای گرمایش فضای ساختمان و برای تامین انرژی مدارهای پمپ حرارتی جذبی و نظایر آن به منظور تامین سرمایش فضای ساختمان ها نیز بکار می رود. با توجه یه پتانسیل بالای شهرستان ساوه در ضمیمه تولید انرژی خورشیدی با تابش حدود ۲۳۰۰ کیلو وات ساعت بر متر مربع (۳۱) (۳۲) ضمینه مساعدی را برای تولید برق فراهم آورده است بدخی مفاهیم اولیه در سیستمهای حرارتی به شرح زیر می باشد: (۳۱)

**سیال عامل** : در اغلب سیستم ها، حرارت جذب شده توسط کلکتور برای اینکه به نقاط دیگر منتقل شده و مورد استفاده مناسب قرار گیرد به یک سیال انتقال حرارت که ممکن است روغن، آب ، هوا و ... باشد منتقل می شود این سیال را سیال عامل می نامند .

**سطوح جاذب**: سطوح تیره دارای قابلیت جذب بهتر اشعه های تابیده شده خورشید هستند در سیستم های خورشیدی، جائی که نور خورشید تابیده شده یا متمرکز می شود، سطوح جاذب در معرض آن قرار می گیرند. این سطوح با روش‌های مختلف صنعتی ساخته می شوند که بتوانند حداکثر جذب انرژی حرارتی را داشته باشند .

**سیستم ذخیره حرارتی**: برای اینکه در طول شب یا در ساعات ابری بتوان از انرژی خورشید استفاده نمود لازم است مقداری از انرژی حرارتی خورشید در منابعی ذخیره شود. در آبگرمکن‌های خورشیدی از مخازن ذخیره آب گرم استفاده می شود و در سیستم های نیروگاهی، انرژی حرارتی در مخازنی که حاوی روغن و شن هستند ذخیره می شود تا در هنگام عدم تابش خورشید، مورد استفاده قرار گیرد.

## ۱-۴-۲ انواع گردآورنده‌ها

گردآورنده‌ها: بصورت تخت یا دارای انحنا می‌باشند.

گردآورنده‌های تخت از جذب حرارت خورشید توسط یک ورقه فلزی تیره که حرارت را توسط یک سیال جاذب حرارت (مثل آب یا هوا) منتقل می‌کند استفاده می‌کنند. یک کلکتور تخت شامل اجزاء زیر می‌باشد (۳۱).

- ۱- صفحه شفاف که ممکن است یک یا چند لایه شیشه و یا پلاستیک شفاف باشد.
- ۲- لوله‌ها و یا گذرگاههای برای عبور سیال انتقال حرارت
- ۳- صفحه جاذب که می‌تواند صاف، موجود، شیاردار باشد که معمولاً به رنگ تیره بوده و لوله‌ها و گذرگاهها به آن متصل می‌شوند.
- ۴- منیفولد یا هدرهایی برای عبور و تخلیه سیال ناقل حرارت که معمولاً در قسمت بالا و پائین کلکتور نصب شده‌اند.
- ۵- عایق بندی دستگاه برای کاهش اتلاف حرارتی که معمولاً اطراف و پشت کلکتور و لوله‌ها را شامل می‌شود.
- ۶- قاب مخصوص که اجزاء کلکتور را در خود جای داده و آنها را از غبار و رطوبت و دیگر عوامل خارجی مصون می‌دارد.

## ۲-۴-۲ تقسیم بندی کلکتورها از نظر نوع سیال عامل

کلکتورهای تخت از نظر نوع سیال عامل، ساختمان و عملکرد به ۳ دسته تقسیم می شوند که عبارتند از:

کلکتور با آب چکه

کلکتور با هوا

کلکتور با مایع

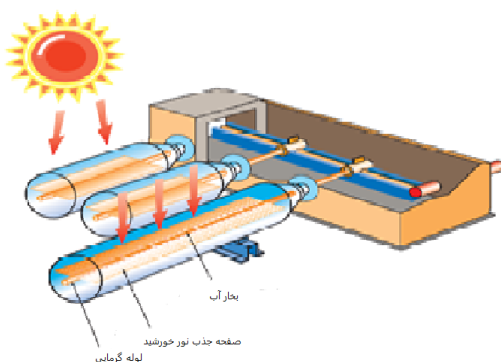


شکل (۵-۲) کلکتور صفحه تخت (۳۱)

کلکتور با آب چکه که از صفحات فلزی تیره رنگ کنگره ای ساخته می شود اولین بار در سال ۱۹۵۹ توسط دکتر هاری تامسون<sup>۱</sup> برای بام خانه ای در مریلند ساخته و نصب شد. در این نوع کلکتورها آب از لوله ای در قسمت فوقانی، بر روی شیارهای صفحه کنگره ای می چکد. آب در حین عبور با جذب حرارت از صفحه تیره رنگ کنگره ای گرم شده و در پائین جهت مصرف و یا ذخیره در یک ناوданی جمع می شود.

کلکتور با هوا، یکی دیگر از گردآورنده‌هایی هستند که در آنها از هوا یا گاز به عنوان سیال برای انتقال حرارت استفاده می‌شود. نگهداری آسان و عدم بخوبی زدگی هوا از مزایای این نوع کلکتورها نسبت به دیگر انواع مایعی آنهاست. بعلاوه در این نوع گردآورنده‌ها هوا گرم مستقیماً وارد ساختمان یا محفظه ذخیره می‌شود. از مزای آن می‌توان به موارد زیر اشاره کرد: مشکل گرم کردن آب مصرفی بوسیله هوا گرم تولید شده، لزوم ساخت و نصب کانالهایی با سطح مقطع مناسب که فضای زیادی از ساختمان را اشغال می‌کند، احتیاج به هوا رسان با قدرت الکتریکی لازم برای انتقال هوا گرم از کلکتور به محل ذخیره.

کلکتور با مایع، که در این نوع کلکتور، سیال عامل یک نوع مایع مثل آب، روغن و یا مایعی با نقطه انجماد پائین انتخاب می‌شود زیرا که بخوبی از کلکتور و خورنده‌گی از مشکلات اساسی در این نوع گردآورنده هاست. سیال عامل از قسمت پائین وارد و هنگام عبور از لوله‌های صفحه جذب کننده، گرم شده و از قسمت فوقانی با پمپ یا بدون آن بطرف مخزن ذخیره جریان پیدا می‌کند. یک نوع از این کلکتورهای مایع مشکل از چندین لوله گرمائی است که هر کدام از آنها شامل یک لوله شیشه‌ای، صفحه جاذب و لوله گرمائی می‌شود. برای جلوگیری از اتلاف حرارتی از روی سطح جاذب و حفظ خواص اپتیکی لایه برگزیده خوابانده شده بر روی سطح جاذب، داخل لوله شیشه‌ای خلاء ایجاد شده است.



شکل (۶-۲) اجزای یک کلکتور باماکع (۳۱)

کلکتورهای تخت پرتوهای تابش مستقیم و پراکنده خورشید را جمع آوری می کنند و احتیاج به سیستم ردیابی ندارند. کلکتورهای تخت در یک روز صاف با زاویه انحراف عرض جغرافیایی محل، قادرند ۲۵۳۴۵ کیلوژول بر مترمربع انرژی خورشیدی را جذب کنند، اتلاف حرارتی زیادی دارند و با وجود سطح جاذب بزرگتر دمای پائین تر و حرارت کمتری تولید می کنند. برای گرم کردن آب و هوا مناسب هستند و هزینه کمتری نسبت به متمرکز کننده ها دارند .

### ۴-۳- گردآورنده های متمرکز کننده

گردآورنده های متمرکز کننده تابش مستقیم خورشید و بخشی از تابش پراکنده را با کمک طراحی های هندسی پیشرفته(سهموی و ...) متمرکز می نمایند. در این نوع کلکتورها از سطوح منعکس کننده جهت افزایش پرتوهای خورشیدی استفاده می شود. متمرکز کردن پرتوهای خورشیدی در کانون، بمنظور دست یابی به درجه حرارت بالا می باشد .

کلکتورهای متمرکز کننده جهت دستیابی به حرارت بالا در کانون می باشند قادر به ردیابی خورشید در مدت تابش روزانه باشند. این نوع کلکتورها در یک روز صاف ۳۶۲۵۲ کیلوژول بر مترمربع از انرژی خورشید را جمع آوری می کنند. مرکز در ناحیه کانونی باعث افزایش انرژی دریافت شده در واحد سطح می گردد. در متمرکز کننده ها بعلت کاهش سطح جذب کننده ها، اتلاف حرارتی کاهش یافته و دمای بالاتر و حرارت بیشتری تولید می شود. برای مناطق ابری مناسب نیستند و نیازی به پوشش شیشه ای ندارند. نسبت به کلکتورهای تخت هزینه بیشتری لازم دارند. از نظر راندمان در دماهای پائین از کلکتورهای تخت کم تر بوده ولی در دماهای بالا، دارای راندمان خوبی هستند. میزان دریافت شدت تابش خورشیدی در متمرکز کننده ها می تواند در حدود ۷۰-۸۰ برابر نسبت به کلکتورهای تخت باشد. نیازی به عایق بندي ندارند در صورتی که در کلکتور های تخت، عایق بندي نکته حائز اهمیتی است.

## ۲-۵- تکنولوژی ترکیبی فتوولتاییک حرارتی (PVT)

یک کلکتور فتوولتاییک-گرما مدلی است که فقط الکتریسیته تولید نمیکند بلکه بطور همزمان به عنوان یک جاذب حرارتی گرمای اضافی و هدر رفت سلول های PV را جذب کرده و تولید گرما میکند روش های متفاوتی در ادغام وویکارچه سازی PV ها وجود دارد از این میان میتوان به انتخاب آب یا هوا به عنوان خنک کننده سلول های خورشیدی، نوع کلکتور صفحه تخت یا متمرکز کننده، پانل های شیشه دار یا غیر شیشه دار، جريان اجباری یا طبیعی سیال و.... اشاره کرد همه موارد بالا باید به خوبی برای سیستم انتخاب و ارزیابی شوند تا هم راندمان افزایش یابد و هم سود حاصله دو چندان گردد از ویژگی های PVT میتوان به موارد زیر اشاره کرد:

(۳۴)

PVT-ها اهداف دو منظوره دارند یعنی بطور همزمان هم برق و هم حرارت تولید میکنند  
-کارامد و انعطاف پذیر هستند، بازده یک سیستم ترکیبی همیشه از دو سیستم مجزا بیشتر است  
-کاربرد وسیعی دارند، گرمای خروجی با استفاده از تجهیزاتی میتواند هم برای گرمایش و هم برای سرمایش بستگی به فصل مورد نظر، استفاده قرار گیرد

## مزایای استفاده از کلکتورهای فتوولتائیک - حرارتی

جلوگیری از افزایش دمای پنل های فتوولتائیک

تولید همزمان الکتریسیته و حرارت

استفاده از یک سیستم ترکیبی به جای استفاده از دو سیستم به طور مجزا

عدم نیاز به منبع الکتریکی خارجی برای به چرخش در آوردن سیال عامل در گردآورنده خورشیدی

دوام بیشتر سلول ها به واسطه کاهش دما

بازگشت سرمایه در مدت زمان کوتاه تر

شکل(۹-۲) مزایای استفاده از کلکتورهای فتوولتائیک - حرارتی (۳۴)

## ۱۱-۵-۲ انواع کلکتورهای فتوولتائیک حرارتی

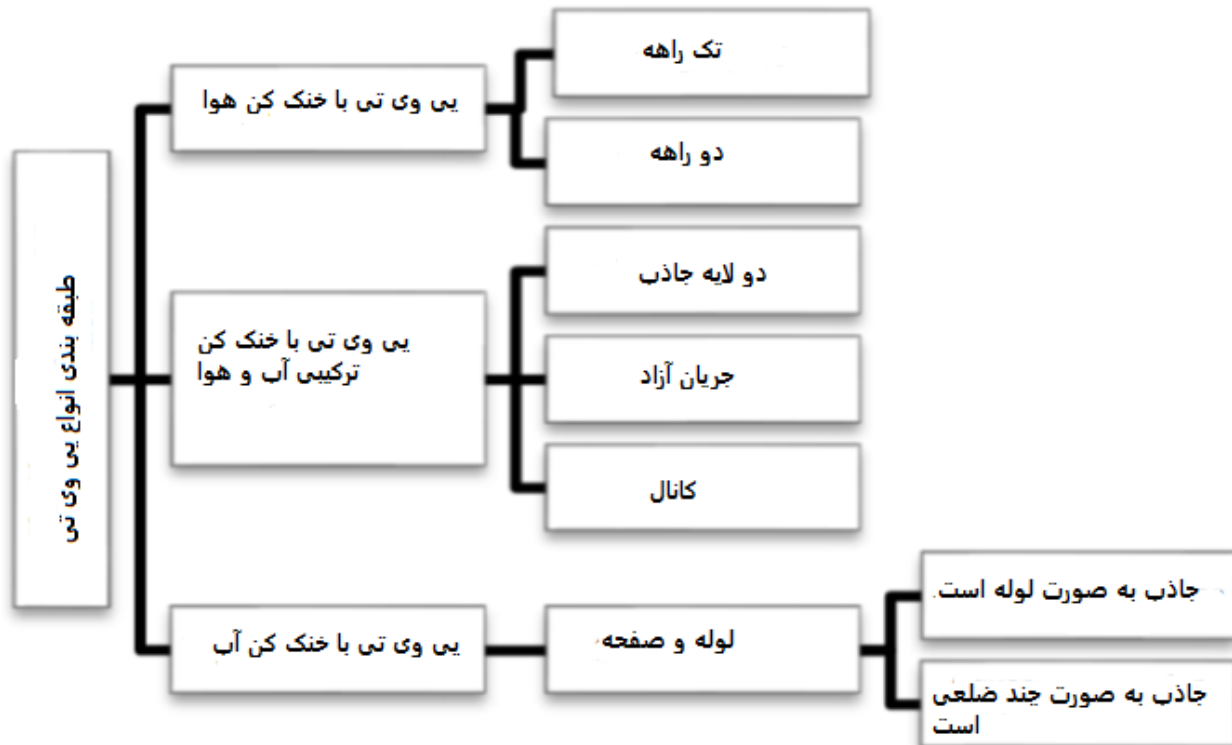
وسایل و اسباب آلات PVT میتوانند در طرح های مختلف برای کاربرهای گوناگون تغییر کند مثل سیستم های PVT تولید آب گرم خانگی یا تولید هوای گرم بازار سار جهان به سرعت برای هر دو تکنولوژی در حال رشد میباشد برای PVT ها میتوان همان رشد را به عنوان یکپارچه بودن ، اقتصادی بودن و افزایش راندمان ترکیبی بالاتر از سیستم های مستقل را انتظار داشت PVT ها دامنه وسیعی از کاربرد ها را دارا میباشد از گرمایش آب گرم گرفته تا تهویه مطبوع ساختمان پیش گرمکن های هوا در طول زمستان برای گرمایش ساختمان و ...

انواع مختلف PVT ها عبارتنند از (۳۴)

-کلکتورهای PVT که از آب به عنوان سیال خنک کننده استفاده میکنند

-کلکتورهای **PVT** که از هوا به عنوان سیال خنک کننده استفاده می‌کنند

**PVT**- متمرکز کننده نور خورشید

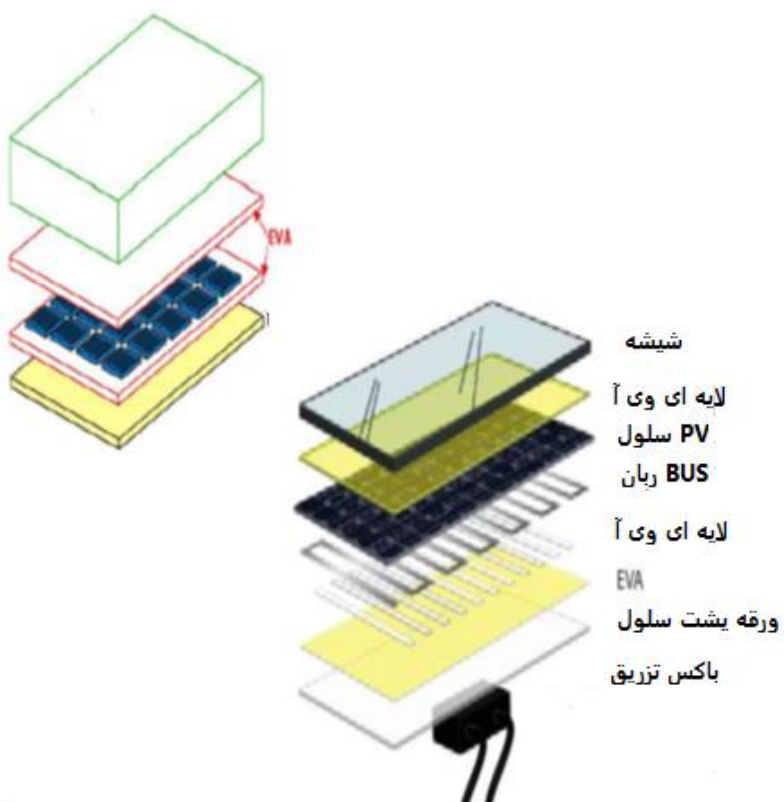


شکل(۱۰-۲) دسته بندی کلکتورهای فتوولتاییک حرارتی صفحه تخت (۴)

## ۲-۵-۲-بخش های یک پنل فتوولتاییک حرارتی

در کلکتور های حرارتی با سیال عامل هوا یک فضای خالی بین مدول PV وعایق وجود دارد که هوا با دمای پایین و سرعت مشخص به این فضای خالی تزریق میشودهوا در ضمن حرکت با مدول تبادل حرارت کرده وحرارت مدول را پایین میاورد و در نتیجه باعث راندمان بهتر مدول میشود و در نهایت هوا با دمای بیشتر از طرف دیگر خارج میشود(۳۴)

### بخش های مختلف یک پنل فتوولتاییک

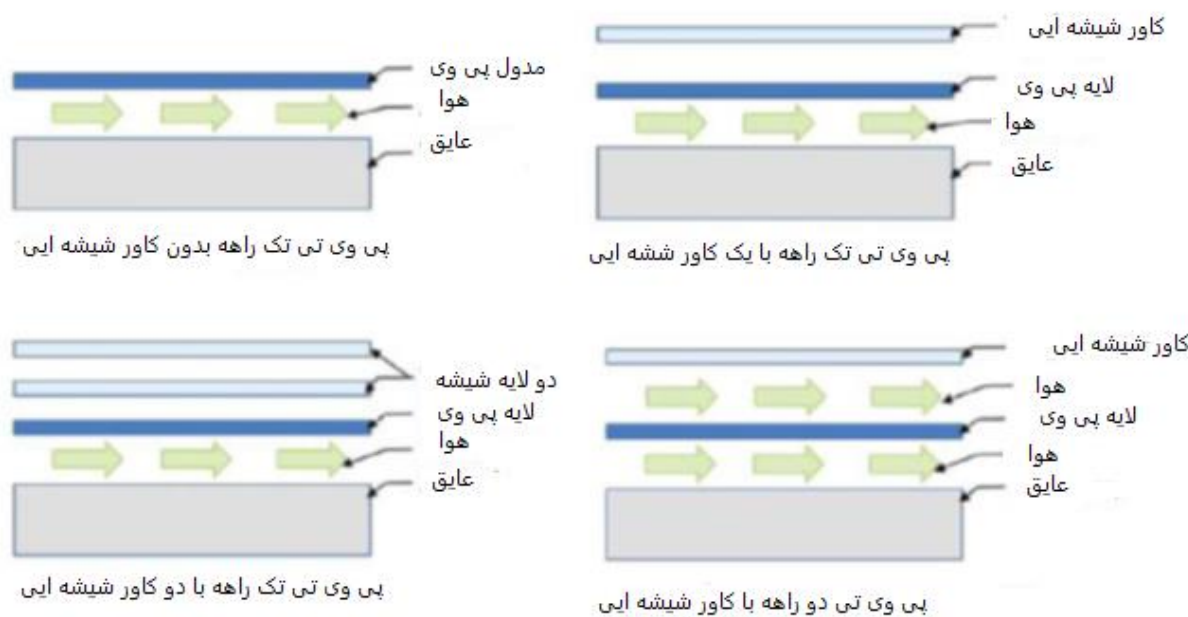


شکل(۱۱-۲) اجزای یک سیستم فتوولتاییک حرارتی (۴)

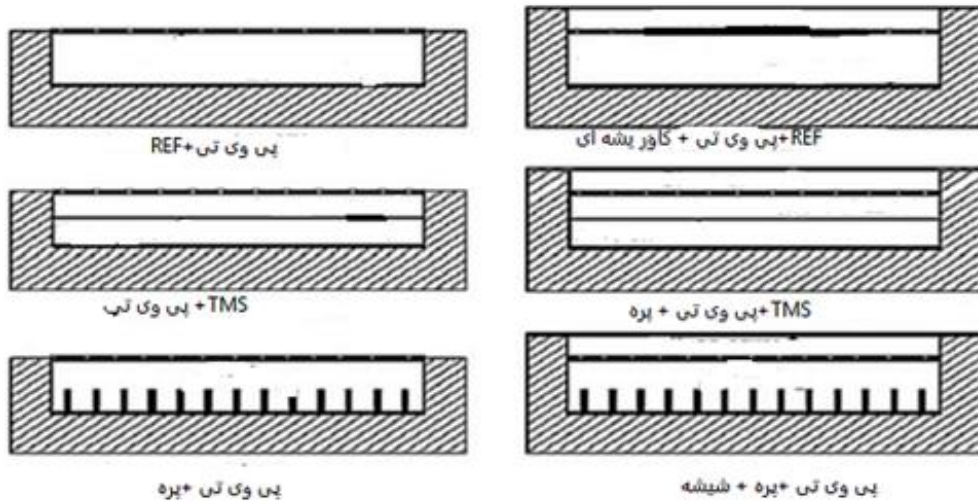
در شکل فوق اجزای یک سیستم فتوولتاییک حرارتی نشان داده شده است معمولاً برای خنک کردن مدول خورشیدی آب یا هوا و یا ترکیبی از هر دو تزریق می‌شود و در نهایت پس از خنک کردن مدول و انتقال حرارت به خارج هدایت می‌شود از حرارت سیال میتوان برای مصارف گوناگون استفاده کرد

### ۳-۵-۲ دسته بندی PVT‌ها با خنک کن هوا

انواع مختلفی از PVT‌ها با خنک کن هوا وجود دارد این تقسیم بندی‌ها بر اساس یک راهه یا دو راهه بودن، وجود یا عدم وجود پوشش شیشه ایی، همچنین جهت تزیق هوا صورت می‌گیرد.



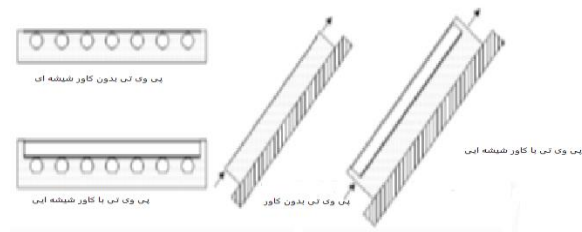
شکل (۱۲-۲) دسته بندی انواع PVT‌ها با خنک کن هوا(۴)



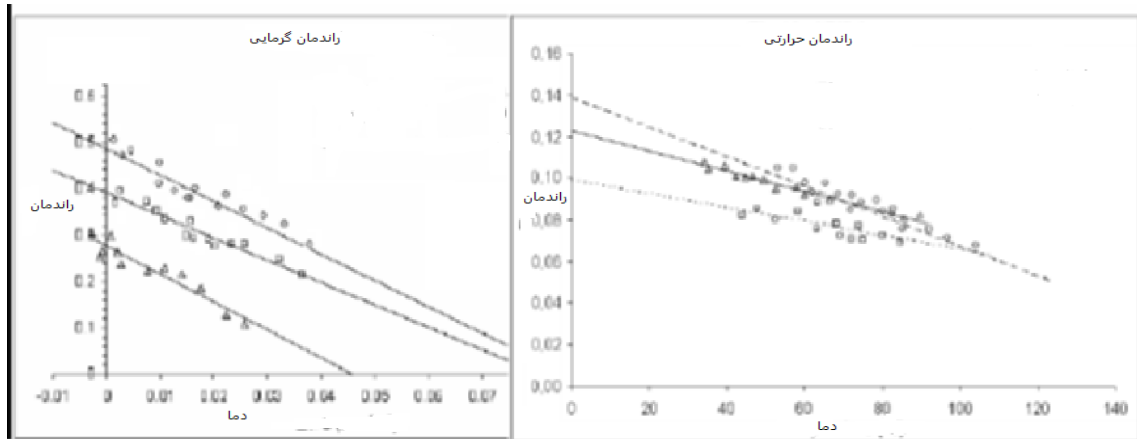
شکل(۱۳-۲) انواع PVT ها با خنک کن هوا(۴)

## ۱۴-۵-۲ اثر کاور شیشه ایی بر راندمان PVT

اضافه کردن کاور شیشه ایی موجب افزایش راندمان حرارتی و کاهش راندمان الکتریکی در PVT ها میشود در واقع اضافه کردن پوشش شیشه ایی موجب افزایش حرارت خروجی از کلکتور میشود در نمودارهای زیر دو نمونه کلکتور با کاور شیشه ایی و بدون کاور توسط آقای چاو و دیگران رسم شده است در این نمودارها اثر اضافه کردن کاور شیشه ایی به خوبی نشان داده شده است(۱۷)



شکل(۱۴-۲) اضافه کردن کاور شیشه ایی به PVT (۱۷)



نمودار(۱-۲) اثر اضافه کردن کاول شیشه ایی بر راندمان انرژی و اکسرژی (۱۷)

## ۱-۶-۲ تعریف سیستم

در این تحقیق از یک پنل فتوولتاییک حرارتی با خنک کن هوا مورد استفاده قرار گرفته است این پنل یک پنل معمولی است که در همه تحقیقات پیشین از آن استفاده شده است که مشخصات در ادامه آمده است از جمله ویژگی های پنل :

- ۱ یک پنل یک راهه که تنها یک مسیر برای ورود هوا وجود دارد که اصطلاحا به آن تک راهه<sup>۱</sup> میگویند. (توجه شود در صورتی که پنل چند راهه باشد تفاوتی در اصول و فرمول ها ایجاد نمیشود)
- ۲ دمای هوای ورودی با دمای محیط یکسان در نظر گرفته شده است

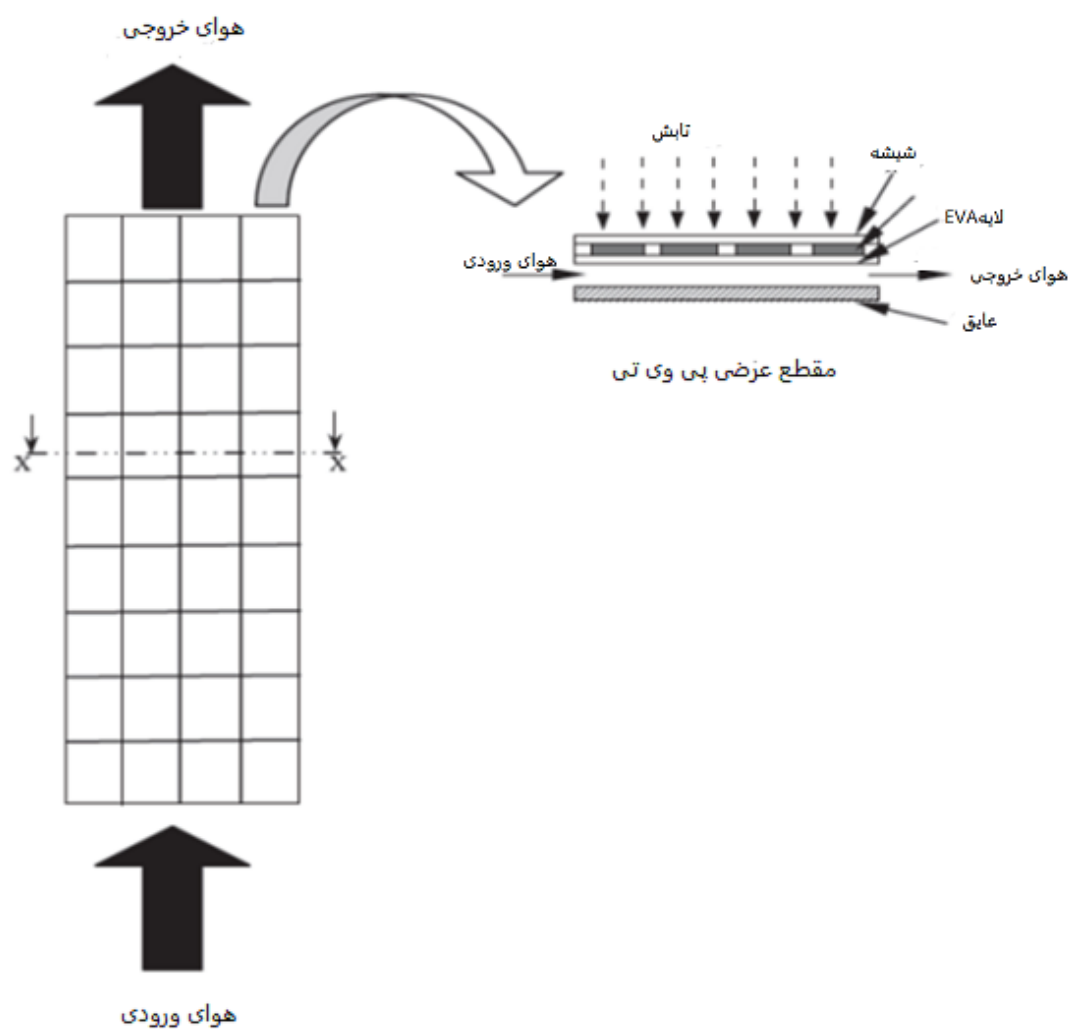
نوع معمولی پنل های فتوولتاییک با خنک کن هوا از شیشه و تدلار با سطح موثر ۰/۶۵ ازیک مدول تشکیل شده است مدول ها اصطلاحا یک راهه اند (یعنی هوا تنها از یک مسیر وارد یا خارج میشود)

ابعاد مدول  $0.54m \times 1.12m \times 5mm$  ساخته شده است نوع مدول از نوع pm75 ساخته شده از منو کریستال سلیکون است شکل سیستم مورد مطالعه در زیر آورده شده است. (۶)

---

<sup>۱</sup> single path

## ۲-۶-۲ نقشه سیستم مورد مطالعه



شکل (۱۴-۲) نقشه کلکتور مورد مطالعه (۴)

### ۲-۶-۳ مشخصات طراحی پنل مورد مطالعه

<b>Parameter</b>	<b>value</b>
$C_f$ (J/kg K)	1012
$T_o$ ( °C)	25
$a_c$	0.9
$\beta_o$ (1/K)	0.0045
$\eta_o$	0.15
$\tau_g$	0.95
$v$ (m/s)	1.5
$V$ (m/s)	0.9
$m_f$ kg/s	0.0108
$K_g$ (W/m K)	1.1
$L_g$ (m)	0.003
$h_o$ (W/m K)	8.55
$h_i$ (W/m K)	5.4
$h_b$ (W/m K)	1
$h_{to}$ (W/m K)	11.4
$h_{b,in}$ (W/m K)	7.3
$U_{tca}$ (W/m K)	11.1
$U_{tcf}$ (W/m K)	4.03
$U_b$ (W/m K)	6.89
$U_{fa}$ (W/m K)	2.94
$U_L$ (W/m K)	9.83
$A_c$ (m2)	1.32

<b>B (m)</b>	<b>0.54</b>
<b>F<sub>R</sub></b>	<b>0.90</b>
<b>h<sub>T</sub> (W/m K)</b>	<b>10.3</b>
<b>L (m)</b>	<b>1.2</b>
<b>h<sub>p1</sub></b>	<b>0.375</b>
<b>h<sub>p2</sub></b>	<b>0.965</b>
<b>U<sub>T</sub> (W/m K)</b>	<b>66</b>
<b>U<sub>tT</sub> (W/m K)</b>	<b>11.4</b>
<b>U<sub>tL</sub> (W/m K)</b>	<b>9.72</b>
<b>U<sub>tc,a</sub> (W/m K)</b>	<b>5.62</b>
<b>τ<sub>c</sub></b>	<b>11.4</b>
<b>β<sub>c</sub></b>	<b>0.95</b>
<b>τ<sub>g</sub></b>	<b>0.83</b>
<b>a<sub>τ</sub></b>	<b>0.95</b>
	<b>0.5</b>

جدول (١-٢) مشخصات طراحی پنل مورد مطالعه (٦)

## فصل سوم تحلیل اگررژی پنل های فتوولتایک با خنک کن هوا

---

## 1-3 پیشگفتار

قانون اول ترمودینامیک، انرژی های مختلف را فقط از لحاظ کمی ارزیابی می کند. از دیدگاه قانون اول، ۱۰۰ کیلو ژول گرما، با ۱۰۰ کیلو ژول کار، ارزش یکسانی دارد. در حالی که در عمل، کل انرژی گرمایی، به کار تبدیل نمی شود. قانون اول ترمودینامیک، هیچ گونه محدودیتی در مورد جهت عبور کار و گرما قائل نیست.

با ارائه قانون دوم ترمودینامیک، این کاستیها رفع شده است. به طوری که قانون دوم ترمودینامیک، قادر است مسیر جلوروی واکنشها، فرآیندها و همچنین مقدار تلفات سیکل را پیشگویی کند. نتیجه مستقیم استفاده از قانون دوم، منجر به ارائه تحلیل اگزرژی گردید که ابزاری قوی و سودمند در ارزیابی کمی و کیفی انرژیهای موجود می باشد. تحلیل اگزرژی با ادغام قانون اول و دوم ترمودینامیک، این امکان را فراهم می آورد که روش مطلوب تحلیل سیستمهای انرژی و همچنین شناخت واضح سطوح انرژی و فرآیندهای نامطلوب ترمودینامیکی یک سیستم، مشخص گردد. (۳۴)

## 2-3 مبانی تحلیل اگزرژی

تحلیل اگزرژی، بر پایه قانون اول و دوم ترمودینامیک، از اوایل قرن گذشته مورد توجه واقع شده و از سال ۱۹۳۰ میلادی، این تحلیل بسط و توسعه بیشتری نموده است. با شروع بحران انرژی در دهه ۷۰ میلادی، تحلیل اگزرژی در رأس تحقیقات ترمودینامیکی سه دهه اخیر قرار گرفت. برطبق قانون دوم ترمودینامیک در هر فرآیند واقعی، آنتروپی تولید شده متناسب با از دست رفتن اگزرژی و نابودی آن در طی فرآیند، می باشد.

بنا بر تعریف، اگسرژی حداکثر کار مفیدی است که از مقدار مشخصی از انرژی موجود یا از جریانی از مواد، حاصل می شود. در تحلیل اگزرژی، هدف اساسی تعیین محل و مقدار تولید بازگشت ناپذیری ها در طی

فرآیندهای مختلف سیکل ترمودینامیکی و عوامل مؤثر بر تولید این بازگشت ناپذیری می باشد. از این طریق، علاوه بر ارزیابی کارایی اجزای مختلف سیکل ترمودینامیکی، راه های افزایش راندمان سیکل نیز شناسایی می گردد. در تحلیل اگزرژی سعی می شود با به کارگیری همزمان قوانین اول و دوم ترمودینامیک و استفاده از محیط پیرامون به عنوان حالت مرجع، بیشترین کار تولید شده در سیکل، به دست آید. تحلیل اگزرژی شامل دو مرحله اساسی می باشد. مرحله اول، شناسایی و بررسی فرآیندهای نامطلوب ترمودینامیکی سیستم بر پایه تعیین اتلافات اگزرژی می باشد. اتلافات اگزرژی با نوشتن موازنۀ اگزرژی در قسم تهای مختلف سیستم به دست می آید. مرحله دوم، تعیین بیشترین اصلاحات ممکن در سیستم بر پایه مفاهیم اتلافات اگزرژی اجتناب پذیر و اتلافات اگزرژی اجتناب ناپذیر است کمترین میزان اگزرژی در سیستم طی فرآیندی که نمی توان با تکنیک های موجود و ملاحظات اقتصادی مانع نابودی آن شد، اتلافات اگزرژی اجتناب ناپذیر می نامند. با این تعریف، اتلافات اگزرژی قابل اجتناب، بیشترین پتانسیل بهینه شدن فرآیند را مشخص می سازد. بنابراین یک سیستم، به سرعت توسط تحلیل اگزرژی تحلیل می گردد و نیز فرآیندهای نامطلوب ترمودینامیکی و بیشترین اصلاحات ممکن، مشخص می گردند. (۳۴)

### **3-3 مفاهیم و روابط اساسی در تحلیل اگزرزی**

تحلیل اگزرزی از یک سری مفاهیم و روابط اساسی به دست آمده از قوانین اول و دوم ترمودینامیک برای تجزیه و تحلیل سیستم‌ها استفاده می‌کند. همچنین، در این تحلیل، محیط پیرامون به عنوان حالت مرجع، تعریف می‌گردد که در ادامه، این مفاهیم و روابط به طور اختصار توضیح داده می‌شوند(۳۵)

#### **۱-۳-۳ تعریف اگزرزی**

اگر ماده، ضمن یک فرآیند بازگشت پذیر از حالت اولیه خود به حالت مرده برسد، در اینصورت حداکثر کار بازگشت پذیر به دست می‌آید که آن را اگزرزی یا قابلیت انجام کار ماده می‌نامند(۳۵)

#### **۲-۳-۳ حالت مرده**

حالت مرده، به حالتی از ماده گفته می‌شود که در آن حالت، ماده با محیط در تعادل حرارتی، مکانیکی و شیمیایی باشد. در حالت مرده، دمای ماده برابر با دمای محیط و فشار ماده برابر فشار اتمسفر و سرعت ماده نسبت به محیط، صفر و انرژی پتانسیل آن نیز صفر است (۳۵)

### **۳-۳-۳ حالت مرده محدود**

حالت مرده محدود، به حالتی گفته می شود که در آن ماده با محیط در تعادل حرارتی و مکانیکی بوده، سرعت و انرژی پتانسیل آن صفر باشد. هر چند ممکن است تعادل شیمیایی بین ماده و محیط برقرار نباشد (۳۵)

### **۴-۳-۳ تعریف محیط از دیدگاه تحلیل اگزرسی**

از دیدگاه تحلیل اگزرسی، محیط جسم بزرگی است که در تعادل ترمودینامیکی کامل قراردارد و در آن هیچ گونه گرادیانی اعم از فشار، دما و پتانسیل شیمیایی وجود ندارد و بدست آوردن کار از برهم کنش اجزای مختلف آن با یکدیگر غیر ممکن است.

هر سیستمی که خارج از محیط باشد، دارای حداقل یک پارامتر متفاوت با محیط است و از برهم کنش آن سیستم و محیط، امکان بدست آوردن کار وجود دارد. بنابراین، محیط جسم مرجعی است که برای ارزیابی پتانسیل کاردهی سیستمهای مختلف، به کار گرفته می شود (۳۵)

### **۴-۳ معیارهای عملکرد از دیدگاه تحلیل اگزرسی**

موازنۀ اگزرسی بر پایه مفهوم آن، برای سیستمی که در حالت پایا بوده و دارای اگزرسی ورودی و خروجی باشد بصورت زیر نوشته می شود (۳۵) رابطه (۱-۳)

$$I = \sum_{in} Ex - \sum_{out} Ex$$

بنابراین با توجه به رابطه بالا، می‌توان بازده اگزرژی را بصورت زیر تعریف کرد: (۳۵)

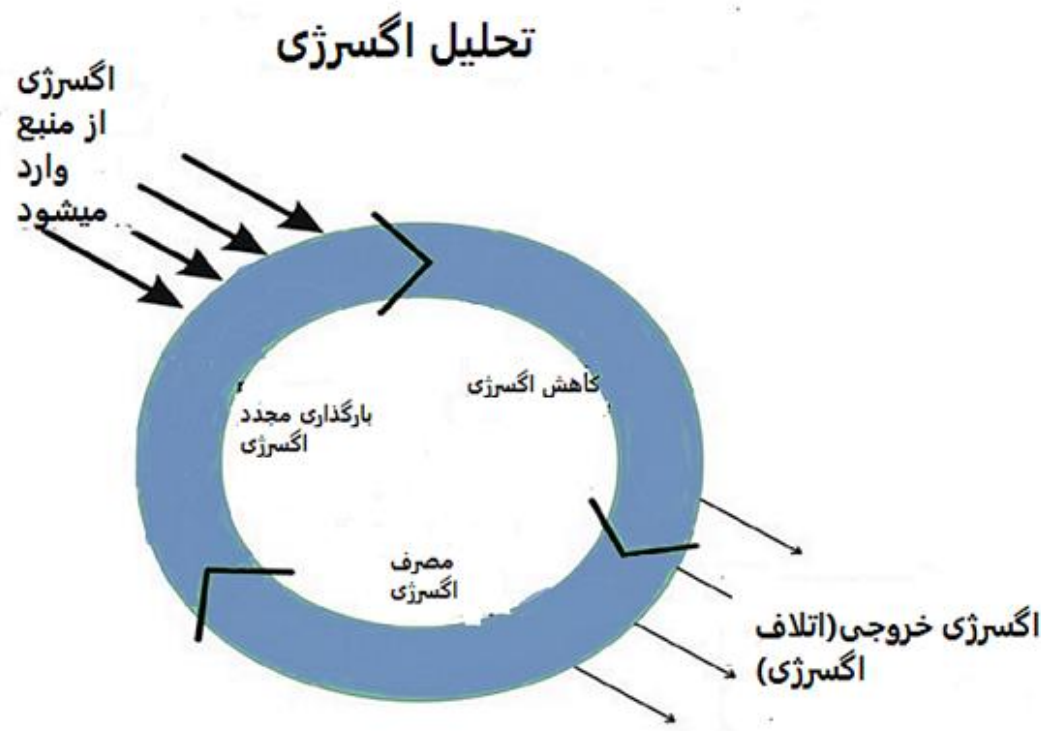
$$\eta_{\Pi} = \frac{\sum_{out} Ex}{\sum_{in} Ex} = 1 - \frac{I}{\sum_{in} Ex} \quad \text{رابطه (۲-۳)}$$

### ۳-۵ اصول آنالیز اگزرژی پنهانی فتوولتاویک حرارتی با خنک کن هوا

هدف این تحقیق آنالیز اگزرژی کلکتور فتوولتاویک- حرارتی با خنک هوا میباشد روش آنالیز اگزرژی یک روش جدید و جاگزین مناسب برای روش های قدیمی تر است این روش بر مبنای مفهوم اگزرژی پایه ریزی شده است اگزرژی با کمی سهل انگاری به عنوان قابلیت انجام کار یا کیفیت انواع مختلف انرژی نسبت به یک محیط مشخص تعريف میشود آنالیز اگزرژی یک فرایند یا یک سیستم نشان میدهد که چه مقدار از قابلیت انجام کار یا اگزرژی ورودی توسط آن فرایند یا سیستم مصرف شده یا به عبارت دیگر تلف شده است .

اتلاف اگزرژی یا به عبارت دیگر بازگشت ناپذیری میزان ناکارامدی سیستم مورد مطالعه را به صورت کمی نشان میدهد علاوه بر آن اگر سیستم فوق از چند جز تشکیل شده باشد آنالیز اگزرژی چگونگی توضیع بازگشت ناپذیری کلی سیستم را بین اجزا آن نشان داده و مشخص میکند که چه اجزایی نقش بیشتری در بازگشت ناپذیری کلی دارند. (۳۶)

برخلاف معیارهای عملکرد رایج مفهوم بازگشت ناپذیری اساسا بر مبنای هر دو قانون ترمودینامیک پایه ریزی شده است . اصولا رابطه ایی که برای آنالیز اگزرژی به کار میرود از ترکیب معادله انرژی حالت پایدار(قانون اول) با نرخ تولید آنتروبی (قانون دوم ) بدست میآید اگرچه در آنالیز اگزرژی به صراحت از قانون دوم استفاده نمیشود اما همان طور که بیان شد به کاربردن روش فوق برای ارزیابی سیستم ، بطور ضمنی مستلزم به کاربردن نتایج حاصل از قانون دوم است اصولا مطالعه صورت های مختلف بازگشت ناپذیری در مقایسه با مطالعه صرف روابط و فرمول های مربوط به قانون دوم ، درک بهتری از آن بدست میدهد. (۳۶)



شکل(۱-۳) تحلیل اگسزی(۴)

همواره راندمان بالای یک سیستم شرط کافی برای اجرا بودن و مقررین به صرفه بودن آن نمیباشد عواملی همچون هزینه های اولیه هزینه تعمیر و نگه داری و سوخت مصرفی میتواند بر عملی بودن یا نبودن یک پروژه تاثیر گذار باشد.

بطور کلی میتوان ارزیابی کلکتورهای PVT را به دو روش عمدۀ انجام داد

الف) تحلیل اگزی ب) تحلیل انرژی

تحلیل انرژی نقص هایی دارد که از جمله آن ها میتوان به

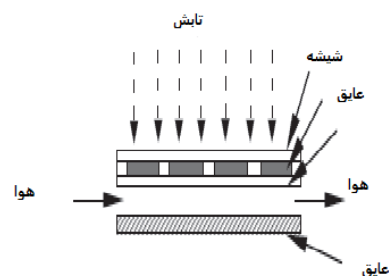
۱) تحلیل انرژی به جهت اجرای فرایند کار ندارد. در قانون اول به بالانس انرژی اهمیت داده میشود مثلا در این قانون اهمیت ندارد از محیط با دمای کمتر به محیط با دمای بیشتر برود مهم مقدار گرمای انتقال یافته میباشد.

۲) تحلیل انرژی کیفیت انرژی را مشخص نمیکند مثلا یک وات گرما برابر یک وات کار یا الکتریسیته معرفی میکند.

۳) تحلیل انرژی برخی از فرایندها را درست تفسیر نمیکند مثلا هوای محیط زمانی که به صورت همدما فشرده میشود تغییرات انرژی آن برابر صفر است در حالی که اگسرژی از صفر بزرگتر است

۴) تحلیل انرژی بازگشت ناپذیری درونی را نشان نمیدهد و معیار کاملی برای ارزیابی کلکتور PVT نمیباشد.  
[۳] در ادامه مباحث ریاضی به اجمال مطرح میشوند

در شکل زیر شمای کلی یک PVT نشان داده شده است



شکل (۲-۳) نمای کلی از یک PVT باخنک کن هوا (۶)

بالанс اگزرژی برای کلکتور فرم زیر پیشنهاد شده است: (۶)

$$\sum E\chi_{out} = \sum E\chi_{thermal} + \sum E\chi_{electrical} \quad \text{رابطه (۳-۳)}$$

## ۶-۳ بالанс اگزرژی در حالت کلی برای PVT

همان طوری که از رابطه فوق مشخص است اگزرژی ورودی که ناشی از تابش خورشید است منهای اگزرژی گرمایی و اگزرژی الکتریکی برابر اتلاف اگزرژی خواهد بود همچین بالанс اگزرژی برای کلکتور فوق توسط آقای تیواری به فرم زیر پیشنهاد شده است: (۶)

$$\text{رابطه (۴)}$$

نرخ انرژی دریافتی از خورشید = نرخ انرژی که از سطح سلول به محیط اطراف هدر می‌رود + انرژی که به هوا (سیتم خنک کن) منتقل می‌شود + نرخ انرژی الکتریکی تولیدی

رابطه فوق پایه ای برای روابط بعدی می‌باشد که بسط آن در ادامه خواهد آمد.

بطور کلی در فوق دو معادله اساسی و پایه را مطرح کردیم این دو معادله اساس آنالیز انرژی و اگزرژی کلکتورهای PVT می‌باشدو در نهایت به کمک آنها میتوان به معادلات کاربردی تر دست یافت در این تحقیق سعی شده که آنالیز بر اساس پارامترهای طراحی و عملکردی انجام شود و هدف یافتن نقاط بهینه در پارامترهای عملکردی و طراحی می‌باشد بطوری که راندمان اگسرژی حداکثر شود.

## ۳-۷ آنالیز اگزرزی پنل های فتوولتاییک با خنک کن هوای

### ۱-۷-۳ لایه روی مجرای سیال

از بالانس اگزرزی مطرح شده در بالا دمای سلول به صورت زیر بدست خواهد آمد.

$$T_C = \frac{((\alpha_{eff} \cdot I(t)) + (U_{tca} \cdot T_a) + (T_{bs} \cdot U_T))}{U_{tca} + U_T} \quad (22-3)$$

در رابطه فوق  $\alpha_{eff}$  برابر (۲۲)

$$\alpha_{eff} = \tau g (\alpha_c \cdot \beta + \alpha_T \cdot (1-\beta) - \eta \cdot \beta)$$

رابطه بین دما راندمان اگزرزی به صورت زیر بیان میشود:

$$\eta = \eta_0 [ 1 - \beta_0 (T_c - T_a) ] \quad (22-6)$$

برای سطح پشت مجرای هوا داریم : رابطه (۷-۳) (۲۲)

$$U_T (T_c - T_{bs}) bdx = h_T (T_{bs} - T_f) bdx$$

## ۲-۷-۳ آنالیز اگزرژی برای هوای درون مجرای سیال

برای سیال ورودی بالانس زیر را خواهیم داشت :

$$\dot{m}_f C_f \frac{dT_f}{dx} + U_b (T_f - T_a) b dx = h(T_{bs} - T_f) b dx \quad \text{رابطه (۸-۳)}$$

دماهی هوای خروجی از  $N$  مدول که به صورت سری بهم وصل شده از رابطه زیر حساب میشود

رابطه (۹-۳).

$$T_{fon} = \left[ \frac{\alpha eff \cdot hp}{Ul} + T_a \right] [1 - \exp(-\frac{b \cdot L \cdot Ul}{\dot{m}_f \cdot C_f})] + T_{fi} \exp(-\frac{b \cdot L \cdot Ul}{\dot{m}_f \cdot C_f})$$

چنانچه اندازه مدول ها یکسان باشد حرارت مفید کسب شده از  $N$  مدول که به صورت سری بهم وصل شده  
اند از رابطه زیر حساب میشود.

$$Q_{U,N} = n_{pv} \times \dot{m}_f C_f \left[ 1 - \exp \left( \frac{N \cdot b \cdot Ul \cdot L}{\dot{m}_f \cdot C_f} \right) \right] \left[ \frac{hp \cdot \alpha eff}{Ul} I(t) + T_a - T_{fi} \right] \quad \text{رابطه (۱۰-۳)}$$

که در آن .

$$K_k = \frac{b \cdot L \cdot FR \cdot UL}{C_f \cdot \dot{m}_f} \quad \text{رابطه (۱۱-۳)}$$

و در پایان اگزرژی الکتریکی کسب شده از پنل از رابطه زیر حساب میشود.

$$Ex_{electrical} = \eta \times N \times I(t) \times A \quad \text{رابطه (۱۲-۳)}$$

## فصل چهارم نتایج و بحث

---

## ۱-۴ پارامترهای موثر در تحلیل اگزرزی

پارامترهای اثر گذار بر آنالیز اگزرزی عبارتنند از (۳۷)

۱-شدت تابش خورشیدی در محیط

۲-سرعت باد

۳-دماهی محیط

۴-دماهی هوای ورودی و خروجی

۵-دماهی سطح مدول فتوولتایک

۶-ولتاژ مدار باز

۷-جريان اتصال کوتاه

۸-ولتاژ و جريان در نقطه توان ماکزیمم

۹-طول پنل فتوولتایک (تعداد مدول هایی که به صورت سری به هم متصل میشوند تا تشکیل یک پنل را بدھند)

۱۰-دبی ورودی و....

بسیاری پارامترهای دیگر میباشند در این میان سه پارامتر عملکردی مکانیکی یعنی طول مدول و دماهی ورودی و دبی را انتخاب کرده اییم و تاثیر تغییر هر یک از پارامتر ها را بر اگزرزی کلی و راندمان حرارتی و راندمان الکتریسیته را شبیه سازی کرده اییم

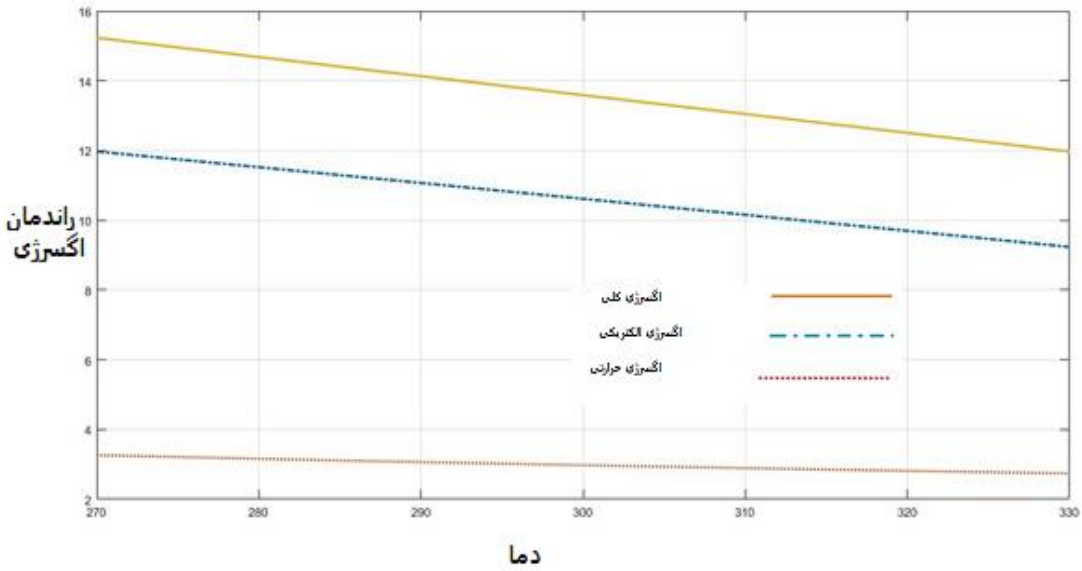
این تحقیق در مبنای شرایط آب و هوایی ساوه میباشد اطلاعات مربوط به شرایط آب و هوایی ساوه از تحقیق های معتبر انجام شده در مورد شدت تابش در ساوه و داده های سازمان هواشناسی استخراج شده است

اصولا یکی از معایب در کارهای گذشتگان عدم توجه کافی به تاثیر آب و هوا در راندمان اگزرژی و تحقیق های پارامتری صرف، بود و تحقیقات انجام شده بجز در چند مورد خاص بر مبنای عملکرد کلکتور در چند روز خاص ارایه شده است در این تحقیق سعی شده است با تکیه بر اطلاعات هواشناسی و جوی ساوه در طول یک مدت طولانی این امر مرتفع گردد و تا حد امکان نتایج تحقیق کاربردی کنیم

## ۲-۴ نتایج حاصل از تحلیل اگزرژی

### ۲-۴-۱ بررسی اثر تغییر دمای هوای ورودی بر راندمان اگزرژی

در زیر نمودار تغییرات اگزرژی بر حسب دما ارائه شده است ملاحظه میشود با افزایش دما ورودی به کلکتور راندمان اگزرژی کاهش پیدا میکند و این امر به دلیل ظرفیت حرارتی محدود هوا میباشد در واقع با افزایش دمای ورودی به پنل هوای ورودی ظرفیت کمتری برای حمل حرارت دارد بنابراین حرارت کمتری از پنل دفع میشود و درنتیجه کلکتور داغ و راندمان کاهش پیدا میکند



نمودار (۱-۴) اثر تغییر دمای هوا و روده بر راندمان اگزرژی (منبع یافته های تحقیق)

در نمودار فوق عملکرد پنل در محدوده دمایی  $270^{\circ}\text{C}$  تا  $330^{\circ}\text{C}$  کلین مورد بررسی قرار گرفت مشاهده میشود به ازای هر درجه افزایش دما :

$0.642 \text{ درصد راندمان اگزرژی کلی کم میشود}$

$0.548 \text{ درصد راندمان الکتریکی کم میشود}$

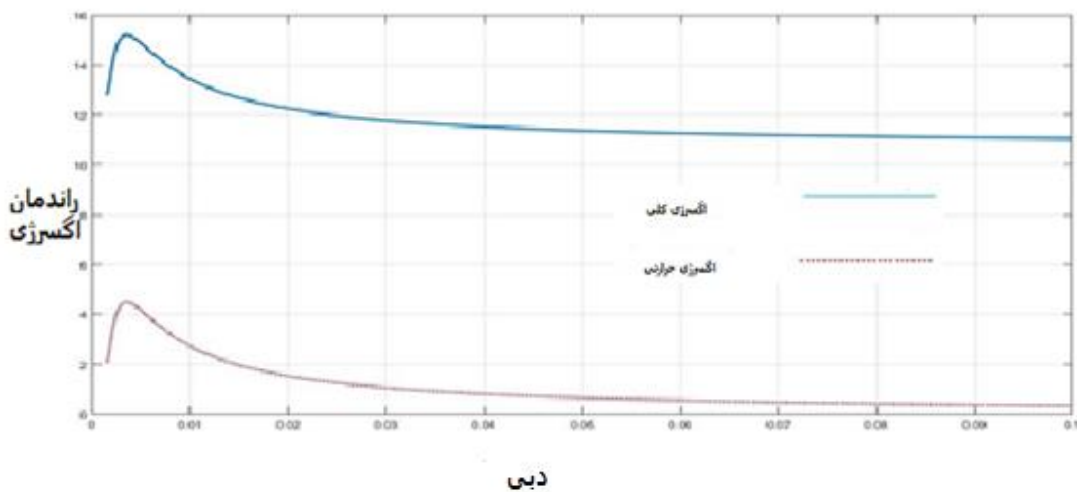
$0.104 \text{ راندمان اگزرژی ناشی از هوا خروجی کاهش میابد}$

توجه کنید که در صورتی که از خنک هوا استفاده نمیشود به ازای هر درجه افزایش دما  $0.5 \text{ درصد از راندمان اگزرژی کم میشود}$  و این نمودار بخوبی برتری عملکرد پی وی تی ها را در مقایسه با سلول های خورشیدی به نشان میدهد.

برای مثال سلول خورشیدی سیلیسیومی که در دمای  $20^{\circ}\text{C}$  درصد سانتی گراد  $20$  درصد بازده دارد و در دمای  $120^{\circ}\text{C}$  درجه سانتی گراد حدود  $12$  درصد بازده خواهد داشت. در مورد گالیوم آرسناید مقدار راندمان به ازای هر درجه سانتی گراد  $0.2 \text{ درصد کاهش خواهد یافت}.$

## ۱-۲-۴ بررسی اثر تغییر دبی هوا بر راندمان اگزرزی

در نمودار زیر رفتار پنل در دبی های گونگون مورد بررسی قرار گرفته و نمودار راندمان اگزرزی برای آن رسم شده است



نمودار (۲-۴) بررسی اثر تغییر دبی هوا بر راندمان اگزرزی(منبع یافته های تحقیق)

به پنل  $0.002 \times 0.1$  هوا بر حسب گیلوگرم بر ثانیه به پنل تزریق شد و نمودار راندمان اگزرزی برای آن رسم شد مشاهده در ابتدا با یک شیب تند یک افزایش در راندمان را شاهد هستیم و پس از رسیدن به یک پیک راندمان با یک شیب ملایم کاهش پیدا میکند و دلیل این رفتار ظرفیت حرارتی هوا است با افزایش دبی با افزایش سرعت ورودی انتقال حرارت افزایش میابد و پس از رسیدن به پیک به دلیل کاهش تبادل ملوكول های هوا با مدول به علت سرعت بالای سیال واردہ به پنل ظرفیت حرارتی کاهش میابد و در نتیجه دمای هوا خروجی از پنل و در نتیجه راندمان اگزرزی کاهش میابد همان طوری که مشخص است مشخصات نقطه ماکزیمم به صورت زیر است:

۳۵ مترمکعب بر ثانیه بهینه ترین دبی ورودی را داریم

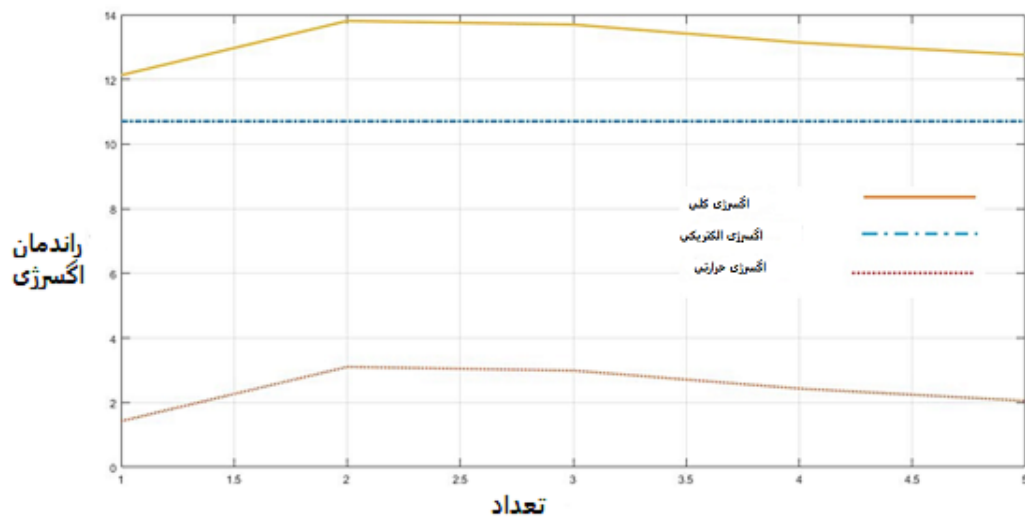
راندمان اگررژی کلی برابر ۱۵/۲۰ درصد است

راندمان اگررژی ناشی از حرارت هوا ۴/۴۹ درصد است

و راندمان الکتریکی به دبی وابسته نیست مقدار آن ثابت و برابر ۱۰/۷ درصد خواهد بود

## ۲-۲-۴ بررسی اثر تغییر طول بر راندمان اگررژی

در این قسمت به بررسی افزایش اثر افزایش طول بر راندمان اگررژی پرداخته اییم طول هر مدول ۰.۴ متر است و در زیر افزایش طول از ۱ تا ۶ مدول مورد بررسی قرار گرفته است



نمودار (۳-۴) بررسی اثر تغییر طول بر راندمان اگررژی(منبع یافته های تحقیق)

همان طوری که از نمودار مشخص است افزایش طول اثری بر راندمان الکتریکی ندارد ولی بر راندمان حرارتی تاثیر گذار خواهد بود مشاهده میشود در مدول دوم به حد اکثر راندمان میرسیم و پس از آن با افزایش طول

شاهد کاهش راندمان خواهیم بود و دلیل این امر به حالت اشباع رسیدن هوا در اثر جذب حرارت کلکتور میباشد در این حالت همیشه مدول های انتها بی داغ تر از مدول های ابتدایی خواهند بود. در نقطه ماکزیمم :

راندمان اگزرژی برابر ۱۳/۸۱ درصد میباشد

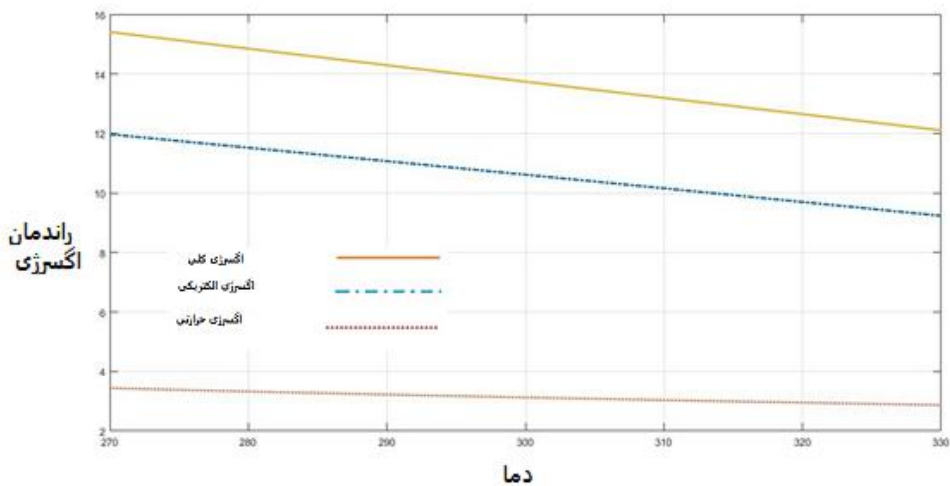
راندمان حرارتی برابر ۱۰۵۰ درصد میباشد

راندمان الکتریکی ثابت و برابر ۱۰/۷ درصد خواهد بود

### ۴-۳ مقایسه نتایج تحقیق حاضر با نتایج حاصل تحقیق مرجع (آنالیز اگزرژی پل فتوولتایک با خنک کن آب)

در ادامه نمودارهای تغییر راندمان اگزرژی برای کلکتور با خنک کن آب بر اساس آب و هوای ساوه ارئه شده اندو یک مقایسه با کلکتور با خنک کن هوا انجام شده است

باید توجه کرد برای کلکتور با خنک کن آب نتایج حاصله تفاوت چندانی با نمودارهای هوا در پنهانی با مساحت کم نداریم فقط در مساحت های بالا برتری کلکتور با خنک کن آب واضح است از جمله مهمترین مزیت های خنک کن های هوا بر سایر خنک کن ها: نصب و راه اندازی ساده-پیچیدگی کمتر-صرفه جویی در مصرف آب-انعطاف پذیری بالاتر است و برای مصارف خانگی بسیار مناسب است در ضمن از هوای داغ خروجی میتوان برای خشک کن های خورشیدی و یا گرم کردن آب استفاده کرد



نمودار (۴-۴) بررسی تغییر دمای آب ورودی بر راندمان اگزرسژی کلکتور با خنک کن آب در ساوه (منبع یافته های تحقیق)

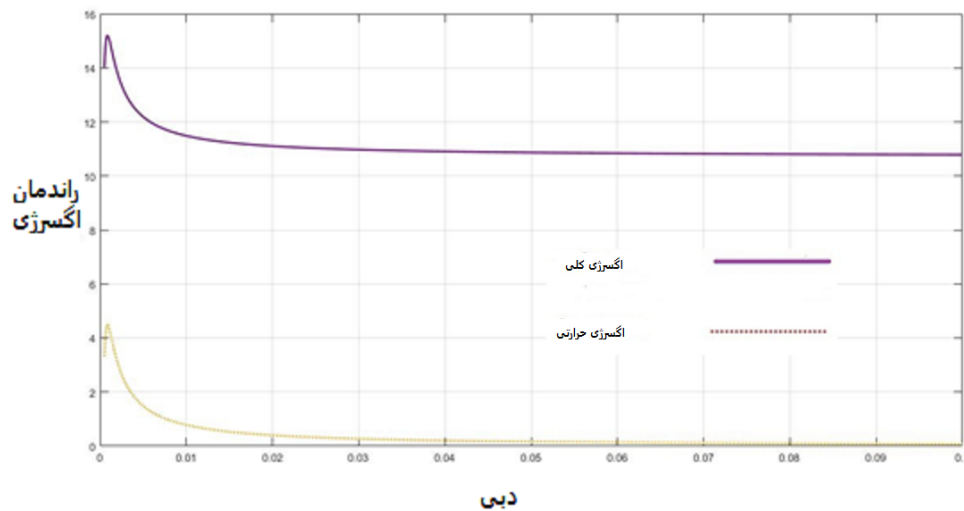
در نمودار فوق همانند آب دما را از  $270^{\circ}\text{C}$  تا  $330^{\circ}\text{C}$  تغییر داده این ملاحظه میشود که راندمان اگزرسژی با شب ملايم کاهش میابد (همانند هوا) البته به دلیل ظرفیت حرارتی بیشتر آب کاهش راندمان با شب کمتری صورت میگیرد در هنگام تزریق آب به جای هوا ما راتدمان  $15/46$  درصد را خواهیم داشت که از راندمان هوا  $15.23$  بود بیشتر است در کل از نمودار فوق داریم:

به ازای هر درجه افزایش دما  $0.662/0.062$  درصد از راندمان اگزرسژی کم میشود

به ازای هر درجه افزایش دما  $0.0096/0.0096$  درصد از راندمان الکتریکی کم میشود

به ازای هر درجه افزایش دما  $0.0548/0.0548$  درصد از راندمان اگزرسژی حرارت آب کم میشود

مشاهده میکنیم که تزریق آب از تزریق هوا دارای مزیت بیشتری است . بحث کلی تر در این باره در انتها خواهد آمد



نمودار (۴-۵) بررسی اثرات تغییر دبه ورودی بر راندمان اگزرسی کلکتور با خنک کن آب در ساوه (منبع یافته های تحقیق)

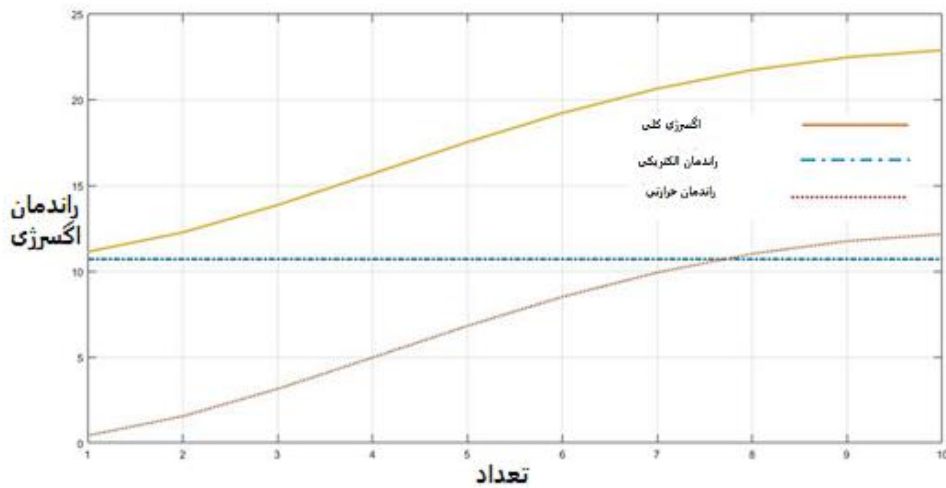
#### تغییرات اگزرسی بر حسب دبه ورودی

در این قسمت دبه مشابه با دبه هوا را به کلکتور تزریق کردیم و در دبه  $0/0009$  متر مکعب بر ثانیه حداقل دبه را به فرم زیر خواهیم داشت :

ماکزیمم راندمان  $15/95$  درصد خواهد بود

ماکزیمم راندمان اگزرسی حرارتی  $48/4$  درصد خواهد بود

راندمان الکتریکی ثابت و برابر  $10/7$  درصد است مشاهده میکنیم که حداقل راندمان با دبه کمتر و مقدار بیشتر در آب اتفاق میافتد



نمودار (۶-۴) بررسی اثرات تغییر طول بر راندمان اگزرسی کلکتور با خنک کن آب در ساوه (منبع یافته های تحقیق)

### تغییرات اگزرسی بر حسب افزایش طول

در این قسمت طول مدول را از  $4/0$  متر افزایش دادیم به دلیل ظرفیت گرمایی بیشتر آب هم زمان با افزایش مساحت راندمان اگزرسی افزایش پیدا میکند در ابتدا افزایش اگزرسی با شیب زیاد است سپس به تدریج این شیب کاهش پیدا میکند و افزایش اگزرسی تابعی از افزایش راندمان اگزرسی حرارت آب است به طور متوسط افزایش شیب برای هر مدول :

۱۰/۰۷۸ درصد راندمان اگزرسی و اگزرسی حرارت آب افزوده میشود راندمان الکتریکی ثابت و برابر  $۱۰/۰$  درصد است به طور خلاصه نتایج در جدول زیر ارائه شده است

متغیر مورد بررسی	آب	هوای
دما	- به ازای هر درجه افزایش دما $۰/۰۶۲$ درصد از راندمان اگزرسی کم میشود	- به ازای هر درجه افزایش دما $۰/۰۶۴۲$ درصد راندمان اگزرسی کلی کم میشود
	- به ازای هر درجه افزایش دما $۰/۰۰۹۶$ درصد از راندمان الکتریکی کم میشود	- به ازای هر درجه افزایش دما $۰/۰۵۴۸$ درصد راندمان الکتریکی کم میشود
	- به ازای هر درجه افزایش دما $۰/۰۱۰۴$ درصد راندمان اگزرسی ناشی از هوای خروجی کاهش میابد	- به ازای هر درجه افزایش دما $۰/۰۵۴۸$ درصد از راندمان اگزرسی حرارت آب کم میشود

در این قسمت دبی مشابه با دبی هوا را به کلکتور تزریق کردیم و در دبی $0/009$ متر مکعب بر ثانیه داشت حداکثر دبی را به فرم زیر خواهیم داشت - مکزیم راندمان $15/95$ درصد خواهد بود - مکزیم راندمان اگسزی حراتی $4/48$ درصد خواهد بود - راندمان الکتریکی ثابت و برابر $10/7$ درصد است	دبی	
در مدول دوم حداکثر راندمان را داریم که مشخصات آن به فرم زیر است - راندمان اگزیزی برابر $13/81$ درصد میباشد - راندمان حرارتی برابر $1/100$ درصد میباشد - راندمان الکتریکی ثابت و برابر $10/7$ درصد خواهد بود	به طور متوسط افزایش شبیه برای هر مدول : - راندمان اگزیزی و اگسزی حرارت آب افزوده میشود - راندمان الکتریکی ثابت و برابر $10/7$ درصد است	طول

جدول (۴) مقایسه بین  $PVT$  با خنک کن آب با  $PVT$  با خنک هوا(منع یافته های تحقیق)

#### ۴-۴ بحث نتیجه گیری کلی :

ابتدا باید به بررسی این نکته پرداخت که چرا با افزایش دما یا سرعت حرکت و یا کاهش سطح تماس ظرفیت حرارتی هوا کاهش پیدا میکند. ابتدا لازم است، انواع حرکت های ممکن برای یک مولکول را بررسی نماییم:

یک مولکول می تواند دارای حرکت های زیر است:

- ۱- انتقالی<sup>۱</sup> : عبارت از حرکت مرکز جرم مولکول است .
- ۲- دورانی یا چرخشی<sup>۲</sup> : عبارت از حرکت دورانی مولکول حول محوری که از مرکز جرم آن می گذرد.
- ۳- ارتعاشی<sup>۳</sup> : شامل نوسان اتم های مولکول به نحوی که مجموعاً تاثیری در حرکت مرکز جرم یا دوران حول این مرکز نداشته باشد.

بررسی انواع حرکت ها در مولکول :

الف : مولکول تک اتمی : این نوع مولکول ها فقط دارای سه حرکت انتقالی در سه جهت محورهای  $X, Y, Z$  هستند و دارای حرکت های دیگر نیستند.

ب : مولکول دو اتمی : این نوع مولکول ها دارای سه نوع حرکت انتقالی ، دو حرکت دورانی و یک حرکت چرخشی می باشند. برای نمونه مولکول را در نظر بگیرید. اگر محور  $X$  را عنوان محور پیوند در نظر بگیریم ، که مرکز جرم آن نیز روی این محور قرار دارد ، در خواهیم یافت که مرکز جرم این مولکول در راستای یکی از محورهای  $Z, Y, X$  می تواند جابجا شده و دارای سه حرکت انتقالی خواهد بود .

حال اگر محوری که از مرکز جرم آن می گذرد و همین محور راستای پیوند آن نیز باشد و این محور را  $X$  بنامیم ، این مولکول دارای دو حرکت چرخشی خواهد بود . یکی حول محور  $Y$  و دیگری حول محور  $Z$  . در مولکول دو اتم  $H$  و می توانند از هم دور و یا نزدیک شوند ، پس دارای یک حرکت ارتعاشی نیز خواهد بود .

این بررسی درمورد کلیه مولکول های خطی صادق است .

بنابر این هر مولکول خطی یا دو اتمی در مجموع می تواند دارای سه حرکت انتقالی ، دو حرکت چرخشی و یک حرکت ارتعاشی باشد .

بنابر این هر مولکول خطی دارای شش درجه آزادی است .

<sup>۱</sup> translation

<sup>۳</sup> vibration

<sup>۲</sup> rotation

ج : سایر مولکول ها : در سایر مولکول ها درجات آزادی از رابطه  $N^3$  محاسبه می شود. که  $N$  تعداد اتم های تشکیل دهنده مولکول است . که ۳ حرکت انتقالی ، ۳ حرکت چرخشی و بقیه آن ارتعاشی خواهد بود . اگر ماده از حالت گاز به حالت مایع یا جامد تبدیل شود ، از تعداد درجه های آزادی مولکول ها کاسته می شود . به عنوان نمونه اگر هیدروژن کلرید گاز به مایع تبدیل شود وجود نیروهای جاذبه بین مولکولی از چرخش کامل مولکول جلوگیری می کند و مولکول تنها دارای حرکت انتقالی و ارتعاشی می شود . یعنی حد اکثر درجات آزادی آن ۴ می شود.

بنا بر این انتظار داریم ظرفیت گرمایی ویژه این ماده در حالت مایع بیشتر از حالت جامد باشد. چون درجات آزادی در حالت مایع بیشتر از حالت جامد است . در حالت مایع میانگین شدت جنبش های انتقالی ، ارتعاشی و چرخشی ممانعت شده و در حالت جامد فقط میانگین شدت جنبش های ارتعاشی باید افزایش می یابد تا دمای ۱ گرم به اندازه ۱ درجه زیاد شود.

وقتی گازی را گرم می کنیم ، انرژی جذب شده ، سبب بالا رفتن انرژی انتقالی آن می شود و در مورد گاز های چند اتمی افزایش انرژی سبب افزایش انرژی چرخشی و ارتعاشی نیز می شود.

گرمای ویژه متوسط در هر دما عبارت است از مجموع گرماهای ویژه جنبشی انتقالی ، چرخشی و ارتعاشی .

اگر ساختمان مولکول خطی باشد ، برای انرژی جنبشی انتقالی و چرخشی همان ۵ درجه آزادی وجود دارد ولی تعداد درجه آزادی ناشی از ارتعاش خیلی زیاد است . با توجه به توضیحات بالا رفتار پتل به خوبی توجیه می شود یعنی اینکه با افزایش دما یا سرعت حرکت و یا کاهش سطح تماس به دلیل درجه آزادی متفاوت ملکول های آب با هوا ظرفیت حرارتی هوا کاهش پیدا می کند

بطور کلی ملاحظه می شود که هنگام تزریق آب عملکرد بهتری را از کلکتور شاهد هستیم و این اختلاف عملکرد در مساحت های زیاد چشمگیر تر خواهد بود اما با توجه به سادگی طراحی و ارزان تر بودن و سرعت انتقال و نصب جایگاهی آسان تر و نیز عدم نیاز به تاسیسات جانبی (مانند لوله کشی برای انتقال آب گرم) در شرایط بحرانی مانند سیل و زلزله و ... و یا شرایطی که فقط تولید الکتریسیته منظور باشد کلکتور با خنک کن هوا پیشنهاد می شود.

## **۴-۵ پیشنهادها برای ادامه کار**

۱- پیشنهاد اول برای ادامه کار در این زمینه تحلیل اگزرسی پنل فتوولتاییک با خنک کن هوا این است که تحقیق حاضر با روش تخریب اگزرسی انجام شود در این فرم عوامل بازگشت ناپذیری اگزرسی در فرایندها به خوبی مشخص خواهد شد و میتوان و برای رفع آن ها چاره اندیشی کرد.

۲- برای تحلیل حاضر یک تحلیل اکونومیک ارائه شود یعنی علاوه بر جنبه های اگزرسی از لحاظ اقتصادی هم بررسی شود باید توجه داشت توجه به عوامل اقتصادی موجب کاربردی تر و عملی تر شدن تحقیق حاضر خواهد شد.

۳- تحلیل حاضر برای انواع مختلفی از کلکتورهای فتوولتاییک با خنک کن هوا در طرح ها و جنس های مختلف انجام شود و نتایج با هم مقایسه شود با این کار میتوان برای یک موقعیت آب و هوایی خاص بهترین کلکتور را برگزید.

## منابع

- ۱- مجموعه مقالات متفرقه سولیکا. انرژی های پاک و ضرورت توسعه آن. www.civilica.com . ۹۵ آذر ماه ۲۰.
- ۲- عمید پور، مجید. آنالیز اگررژی روش ها و کاربردها. www.kntu.ac.ir/amidpour . ۹۵ آذر ماه ۲۰.
- ۳- Javad Yazdanpanahi, Faramarz Sarhaddi, Mohsen Mahdavi Adeli. Experimental investigation of exergy efficiency of a solar photovoltaic thermal (PVT) water collector based on exergy losses. Solar Energy, Volume 118, August 2015, Pages 197-208.
- ۴- گردهمایی انجمن خورشیدی ایران. دانشگاه سیستان و بلوچستان. آذرماه ۹۳
- ۵-A. Bejan, Advanced engineering Thermodynamics, New York, 1985
- ۶-Arvind, T.D,swapnil .,Energy analysis of integrated photovoltaic thermal solar water heater under constant flow rate and constant collection temperature mode ,Applied Energy 2009,pages 2592-2597
- ۷- انرژی خورشیدی. تحلیل اگررژی سلول های خورشیدی www.azocleantech.com . ۹۵ آذر ماه ۲۵
- ۸-wolf,M,performance analysis of combine heating and photovoltaic power system residences .Energy conversion and management. 1976,pages 79-90
- ۹-COX,C.H,raghuraman,P.,design consideration for flat plat photovoltaic thermal /collector,jurnal of solar energy1997,vol.11,pages363-385
- ۱۰-Garg,H.p,Adhikari,R,S. conversation hybrid phovoltaic /thermal air heating collector steady state simulation ,renewable energy 1997 ,vol , 11,pages363-385
- ۱۱-Fujisawa, T.,Tani, T. annual exergy evaluvation on photovoltaic thermal hybride collector , solar enegy material and solar cell 1997,pages 135-148
- ۱۲-Hegazy,A.A,Amiry,M. Comprarative study of the performance photovoltaic /thermal air collector , energy convertn and management 2010 ,vol .41,pages.861-881,2000
- ۱۳-Bosance ,M.,Sorensen ,B.,Ivan ,K,Sorensen, h.Bruno ,N.,Jamal.Bphotovoltaic /thermal solar collector and their potention in Denmak , final report EFP.
- ۱۴-(Shahin,A.D.,Dincer,I.Rosen,M.A. thermodynamican alysis of solar photovpltaic cell system , solar energy material and solar cell 2007,pages 153-159

- 15-Joshi,A.S.,Tiwari,A. energy and exergy efficiencies of hybride photovoltaic –thermal air collector ,renewable energy 2007, pages 2223-2241
- 16-Nayak,s.,Tiwari, G.N.,()energy and exergy analysis of photovoltaic/thermal integrated with solar greenhouse ,energy and building 2008 ,pages 2015-2021
- 17- T.T. Chow, G. Pei, K.F. Fong, Z. Lin, A.L.S. Chan, J. Ji .Energy and exergy analysis of photovoltaic–thermal collector with and without glass cover.Applied Energy, Volume 86, Issue 3, March 2009, Pages 310-316.
- 18-Shahsavar ,A.Ameri,M.,Exprimental investigation and modeling of direct-coupled PV/T air collector ,solar Energy,2010 ,pages 1938-1958
- 19-Sarhaddi ,F.,Farahat,S.,Ajam,H.,Behzadmehr.A.Exergetic performance assessment of solar photovoltaic/thermal air colletor, energy and building 2010 ,pages 2184-2199
- 20-Sanjay Agrawal, G.N. Tiwari. Energy and exergy analysis of hybrid micro-channel photovoltaic thermal module. Solar Energy, Volume 85, Issue 2, February 2011, Pages 356-370.
- 21-C.S. Rajoria, Sanjay Agrawal, G.N. Tiwari . Overall thermal energy and exergy analysis of hybrid photovoltaic thermal array. Solar Energy, Volume 86, Issue 5, May 2012, Pages 1531-1538.
- 22-Sanjay Agrawal, G.N. Tiwari . Overall energy, exergy and carbon credit analysis by different type of hybrid photovoltaic thermal air collectors. Energy Conversion and Management, Volume 65, January 2013, Pages 628-636.
- 23- E. Saloux, A. Teyssedou, M. Sorin. Analysis of photovoltaic (PV) and photovoltaic/thermal (PV/T) systems using the exergy method. Energy and Buildings, Volume 67, December 2013, Pages 275-285.
- 24-R.K. Mishra, G.N. Tiwari. Energy and exergy analysis of hybrid photovoltaic thermal water collector for constant collection temperature mode . Solar Energy, Volume 90, April 2013, Pages 58-67.
- 25-Mishra ,R.K.,Tiwari,G,N.,Energy matrices analyses of hybride photovoltaic thermal water collector with different PV technology.Sol energy 2013,page161-173
- 26-G. Evola, L. Marletta . Exergy and thermoeconomic optimization of a water-cooled glazed hybrid photovoltaic/thermal (PVT) collector. Solar Energy, Volume 107, September 2014, Pages 12-25.

27-Maysam Gholampour, Mehran Ameri. Energy and exergy analyses of Photovoltaic/Thermal flat transpired collectors: Experimental and theoretical Study .Applied Energy, Volume 164, 15 February 2016, Pages 837-856.

۲۹- خسرو شاهی، روح الله. مجموعه مقالات سایت آموزش ستادنانو . www.kharami.org ۲۰ آذرماه ۹۵

۳۰- شفیعی، م. غریب، الف. ر، اعلایی. مدل سازی میزان تابش در شهرستان ساوه. مجله فنی مهندسی فناوری های نوین، آذر ماه ۹۳.

۳۱- سازمان انرژی های نو ایران سانا. کلکتور های حرارتی خورشیدی. www.sana.org ۲۵ آذر ماه ۹۵

۳۲- شهرداری ساوه. موقعیت جغرافیایی ساوه. www.Saveh.ir ۲۵ آذر ماه ۹۵

۳۳- داده های آب و هوایی برای شهر های مختلف جهان. www.climet-data.org ۲۵ آذر ماه ۹۵

۳۴- میرزایی ضیا پور، ب. و، پالیده . مروری بر پیشرفت های اخیر سیستم ههای ترکیبی خورشیدی فتوولتایک حرارتی PVT. مجموعه مقالات دومین همایش انرژی های نو و پاک ، دانشکاه شهید مفتح همدان ، ۱۴ آذر ماه ۱۳۹۲.

35-Kenneth Wark, Jr., Advanced Thermodynamics for Engineers, McGraw-Hill, New York, 1995.

36-Kenneth Wark, Jr., Advanced Thermodynamics for Engineers, McGraw-Hill, New York, 1995.

۳۷- صبح نمایان، ف. الف، حمیدی. ح، منوری. م، مهدوی. بررسی آزمایشگاهی راندمان اگسرژی یک کلکتور  $PV/T$  با سیال عامل آب و مقایسه آن با شبیه ساز عددی .

## پیوست

پیوست : الگوریتم حل

syms Ta Tbs mf G Q Tc Tout Eout Ein Eel Eth Rth Rel Rnet N b L FR Cf Kk Aeff hp1 UtT ht  
Utca UT UL B B0 H A TG Ac AT Enet

N=3

b=0.54

L=0.4

FR=0.9

Cf=4200

hp1=.375

UtT=9.72

ht=10.3

Utca=11.4

UT=66

UL=5.62

B=0.83

Ta=298

B0=0.0045

mf=0.0005:0.0001:0.01

Ac=0.9

TG=0.95

H=0.15

G=120

AT=0.5

$Kk = N \cdot (b \cdot L \cdot FR \cdot UL) / (Cf \cdot mf)$   
 $A_{eff} = TG \cdot (Ac \cdot B + AT \cdot (1 - B) \cdot H \cdot B)$   
 $Ein = N \cdot b \cdot L \cdot G \cdot (1 - (4/3) \cdot (Ta/5000) + (1/3) \cdot (Ta/5000)^4)$   
 $Q = (N^2) \cdot (b \cdot L \cdot FR \cdot A_{eff} \cdot G \cdot ((1 - (1 - (Kk / (Cf \cdot mf))) \cdot N) / ((Kk / (Cf \cdot mf)) \cdot N)))$   
 $Tbs = ((A_{eff} \cdot G \cdot hp1) + ((UtT + ht) \cdot Ta)) / (UtT + ht)$   
 $Tc = ((A_{eff} \cdot G) + (Utca \cdot Ta) + (Tbs \cdot UT)) / (Utca + UT)$   
 $Tout = (((A_{eff} \cdot G) / UL) + Ta) \cdot (1 - 2.71 \cdot ((-N \cdot b \cdot L \cdot UL) / (Cf \cdot mf))) + Ta \cdot 2.71 \cdot ((-N \cdot b \cdot L \cdot UL) / (Cf \cdot mf))$   
 $Eh = Q \cdot (1 - (Ta / Tout))$   
 $Eel = N \cdot b \cdot L \cdot B \cdot 12 \cdot G \cdot (1 - (B0 \cdot (Tc - 298)))$   
 $Rel = (Eel / Ein) * 100$   
 $Rth = (Eth / Ein) * 100$   
 $Enet = Eel + Eh$   
 $Rnet = (Enet / Ein) * 100$   
 $plot(mf, Rel, '-.', mf, Rth, ':', mf, Rnet)$   
grid on  
xlabel('mf')  
ylabel('η<sub>ex</sub>')  
title('نمودار تغییرات اگسزٹی بر حسب دبی')

syms Ta Tbs mf G Q Tc Tout Eout Ein Eel Eth Rth Rel Rnet N b L FR Cf Kk Aeff hp1 UtT ht  
Utca UT UL B B0 H A TG Ac AT Enet

N=1:1:10  
b=0.54  
L=0.4  
FR=0.9  
Cf=4200

hp1=0.375

UtT=9.72

ht=10.3

Utcā=11.4

UT=66

UL=5.62

B=0.83

Ta=298

B0=0.0045

mf=0.001935

Ac=0.9

TG=0.95

H=0.15

G=120

AT=0.5

Kk=N.\*(b\*L\*FR\*UL)./(Cf.\*mf)

Aeff=TG\*(Ac\*B+AT\*(1-B)-H\*B)

Ein=N.\*b\*L\*G\*(1-(4/3)\*(Ta/5000)+(1/3)\*(Ta/5000).^4)

Q=(N.^2).\* (b\*L\*FR\*Aeff\*G\*((1-(1-(Kk.)/(Cf.\*mf))).^N)./((Kk.)/(Cf.\*mf)).^N)))

Tbs=((Aeff\*G\*hp1)+((UtT+ht).\*Ta))./(UtT+ht)

Tc=((Aeff\*G)+(Utcā.\*Ta)+(Tbs\*UT))./(Utcā+UT)

Tout=(((Aeff\*G)/UL)+Ta).\* (1-2.71.^((-N.\*b\*L\*UL)./(Cf.\*mf)))+Ta.\*2.71.^((-N.\*b\*L\*UL)./(Cf.\*mf))

Eth=Q.\*(1-(Ta./Tout))

Eel=N.\*b\*L\*B\*.12\*G\*(1-(B0.\*(Tc-298)))

```

Rel=(Eel./Ein)*100
Rth=(Eth./Ein)*100
Enet=Eel+Eth
Rnet=(( Enet)./Ein)*100
plot(mf,Rel,'.',mf,Rth,:',mf,Rnet)
grid on
xlabel('N')
ylabel('ηex')
title('نمودار تغییرات اگسزٹی بر حسب طول')
syms Ta Tbs mf G Q Tc Tout Eout Ein Eel Eth Rth Rel Rnet N b L FR Cf Kk Aeff hp1 UtT ht
Utca UT UL B B0 H A TG Ac AT Enet
N=3
b=0.54
L=0.4
FR=0.9
Cf=4200
hp1=0.375
UtT=9.72
ht=10.3
Utca=11.4
UT=66
UL=5.62
B=0.83
Ta=270:1:325
B0=0.0045

```

mf=0.001935

Ac=0.9

TG=0.95

H=0.15

G=120

AT=0.5

Kk=N.\*(b\*L\*FR\*UL)./(Cf.\*mf)

Aeff=TG\*(Ac\*B+AT\*(1-B)-H\*B)

Ein=N.\*b\*L\*G\*(1-(4/3)\*(Ta/5000)+(1/3)\*(Ta/5000).^4)

Q=(N.^2).\* (b\*L\*FR\*Aeff\*G\*((1-(1-(Kk./(Cf.\*mf))).^N)./((Kk./(Cf.\*mf)).\*N)))

Tbs=((Aeff\*G\*hp1)+((UtT+ht).\*Ta))./(UtT+ht)

Tc=((Aeff\*G)+(Utca.\*Ta)+(Tbs\*UT))./(Utca+UT)

Tout=(((Aeff\*G)/UL)+Ta).\* (1-2.71.^((-N.\*b\*L\*UL)./(Cf.\*mf)))+Ta.\*2.71.^((-N.\*b\*L\*UL)./(Cf.\*mf))

Eth=Q.\*(1-(Ta./Tout))

Eel=N.\*b\*L\*B\*.12\*G\*(1-(B0.\*(Tc-298)))

Rel=(Eel./Ein)\*100

Rth=(Eth./Ein)\*100

Enet=Eel+Eth

Rnet=(( Enet)./Ein)\*100

plot(mf,Rel,'.',mf,Rth,:',mf,Rnet)

grid on

xlabel('Ta')

ylabel('η<sub>ex</sub>')

title(' نمودار تغییرات اگسزٹی بر حسب دما ')

## **Abstract**

A photovoltaic-thermal collector is of a device which not only produces electricity but also concurrently as an absorbent of excessive heat and wastage which absorbs the heat produced by PV cells. There are numerous parameters used as different options in design of PVs including choosing water or air as cooling agent of solar cells, flat plate collector or concentrator, glassed or non-glassed panels, fluid natural or compulsory flow and ..... All above-mentioned items should be chosen and assessed for the system enhancing efficiency and doubling the profit obtained.

The objective of this study is to analyze photovoltaic-thermal collector exergy with an air cooling system. The exergy analysis method is a new method and suitable alternative in comparison with old ones. This method is based on exergy concept. With a little negligence exergy is defined as ability to work or quality of different levels of energy in relation to a specific condition .Exergy analysis present the consumed or wasted amount of ability to work or input energy.

## **Materials and methods**

In this study an attempt is made to investigate a usual photovoltaic-thermal collector with the cooling air in terms of exergy. For this the functional influential variables were then specified regarding the mechanics. These variables include:

1-temperature of input air 2- debris of input air 3-length (number of modules which are connected in series). The effect of changes of each variable was studied based on conditions of the city of Saveh using MATLAB software. In the end the results were compared against the results of the PVT with water cooling system.

**Conclusion:** In this study it was found that with increasing the temperature, the exergy of the input air decreases in relation to exergy performance of the panel and also it was understood that the most optimal air debris is 0.0012kg/s for 0.8m of length.

**Key words:** solar cell, photovoltaic-thermal, air cooler, analysis of exergy



**Energy Institute for Higher Education**

**Faculty of Engineering**

**Departmet of Mechanical Engineering –Energy conversion**

**Thesis for**

**Degree Of Master Of Science(M.Sc)**

**Title**

**Exergy analysis of thermal photovoltaic (PVT)  
with air collector**

**Supervisor**

**Reza alayi**

**Advisor**

**Mojtaba mirzayi**

**By**

**Milad zamani**

**February 2017**

